

Inhaltsverzeichnis

1	Gewöhnliche Differentialgleichungen	3
1.1	Allgemeiner Fall	3
1.2	Lösungsalgorithmus	4
1.2.1	Euler-Cauchy-Algorithmus	4
1.2.2	Leapfrog Algorithmus	4
1.2.3	Velocity-Verlet-Algorithmus	5
1.2.4	Verlet-Algorithmus	5
1.2.5	Runge-Kutta Verfahren	7
1.2.6	Schrittweitenanpassung und Fehlerkontrolle	9
1.3	Stabilität von ODEs	10
1.4	Molekulardynamik	13
1.4.1	Anwendung	13
1.4.2	Exkurs: Parallele Programmierung	16
2	Partielle Differentialgleichungen	21
2.1	Lösungsverfahren	21
2.1.1	Finite Differenzen	21
2.1.2	Lösung für lineare Gleichungssysteme	23
2.1.3	Praktische Implementation für die Poissongleichung	26
2.2	Wellengleichung	27
2.2.1	Anfangs- und Randbedingungen	27
2.2.2	Diskretisierung und Stabilitätsanalyse	27
3	Zufallszahlen und Monte-Carlo Simulationen	31
3.1	Erzeugung von Pseudozufallszahlen	31
3.1.1	Algorithmen	31
3.1.2	Erzeugen von Zufallszahlen mit einer beliebiger Verteilung	32
3.2	Monte-Carlo-Integration hochdimensionaler Integrale	33
3.2.1	MC-Simulationen in der stat. Physik	34
3.2.2	Ising-Modell	38
3.2.3	Diffusions-Monte-Carlo	41

Kapitel 1

Gewöhnliche Differentialgleichungen

ODE: ordinary differential equations typische Beispiele in der Physik:

a) Ratengleichung / Populationsdynamik

$$\frac{dn}{dt}(t) = (r_+ - r_-)n(t)$$

mit $n(t)$ Anzahl der Individuen zur Zeit t

r_+ Geburtenrate r_- Todesrate/Zerfallsrate

$r = r_+ - r_- = f(n)$ Reproduktionsrate

Bei Parametern $r = r_0$ unabhängig von n spricht man vom Malthus'schen Wachstumsmodell (radioaktiver Zerfall), für $r = r_0(1 - K_n)$ vom Pearl-Verhulst-Modell. Die Wachstumsrate nimmt mit Dichte n ab.

b) klassische Mechanik

$$m\ddot{\vec{x}}(t) = \vec{F}(\vec{x}(t), \dot{\vec{x}}(t), t) \quad \text{Newtonsche Bewegungsgleichung (ODE 2.Ordnung)}$$

$$\dot{\vec{y}} = \begin{pmatrix} \dot{q} \\ \dot{p} \end{pmatrix} = \begin{pmatrix} \frac{\partial \mathcal{H}}{\partial p} \\ -\frac{\partial \mathcal{H}}{\partial q} \end{pmatrix} \quad \text{Hamiltonsche Bewegungsgleichungen (2 ODE 1. Ordnung)}$$

1.1 Allgemeiner Fall

Sei $\vec{y}(t) \in \mathbb{R}^n$ Vektorfunktion eines skalaren Parameters $t \in \mathbb{R}$, dann ist

$$f(\vec{y}(t), \vec{y}^{(1)}(t), \vec{y}^{(2)}(t), \dots, \vec{y}^{(n)}(t)) = 0$$

implizite Darstellung einer durch \vec{y} gelösten ODE. Alternativ

$$\vec{y}^{(n)}(t) = \vec{g}(\vec{y}^{(1)}(t), \vec{y}^{(2)}(t), \dots, \vec{y}^{(n-1)}(t), t)$$

wobei $\vec{y}^{(k)}(t) = \frac{d^k \vec{y}}{dt^k}$. Ein zugehöriges Anfangswertproblem ist gegeben durch die Anfangsbedingungen

$$\vec{y}(t_0) = \vec{y}_0, \dots, \vec{y}_0^{(n-1)} = \vec{y}_{n-1}$$

1.2 Lösungsalgorithmus

a) Umschreiben einer ODE n-ter Ordnung in n ODEs 1.Ordnung

$$\begin{aligned} y'_{n-1}(t) &= y_n(t) = \vec{g}(\vec{y}_0, \vec{y}_1, \dots, \vec{y}_{n-1}, t) \\ y'_{n-2} &= y_{n-1} \\ &\vdots \\ y'_0 &= y_1 \\ \Rightarrow \boxed{\vec{y}'(t) = \vec{F}(\vec{y}(t), t)} \end{aligned}$$

mit Anfangswertproblem $\vec{y}(t_0) = \vec{y}^{(0)}$

b) Diskretisierung des skalaren Parameters $t \in [t_0, t_0 + T]$

Man wählt Stützpunkte $t_0 < t_1 < t_2 < \dots < t_N = T$, häufig eine equidistante Diskretisierung $t_i = t_0 + \Delta t$ mit $\Delta t = \frac{T}{N}$ und erhält die formale Lösung:

$$\vec{y}(t_{i+1}) = \vec{y}(t_i) + \int_{t_i}^{t_{i+1}} dt' \vec{F}(\vec{y}(t'), t')$$

Auf das diskretisierte Problem können nun folgende mehr oder weniger einfachen Algorithmen zur mehr oder weniger guten Lösung angewendet werden.

1.2.1 Euler-Cauchy-Algorithmus

$$\vec{y}(t_{i+1}) = \vec{y}(t_i) + \Delta t \vec{F}(\vec{y}(t_i), t_i) + \mathcal{O}(\Delta t^2) \text{ pro Schritt}$$

Alternativ lässt sich diese Iteration durch die Newton-Gregory-Vorwärtsableitung schreiben

$$\vec{F}(y(t_i), t_i) = \vec{y}'(t_i) = \frac{\vec{y}(t_{i+1}) - \vec{y}(t_i)}{\Delta t} + \mathcal{O}(\Delta t)$$

Der globale Fehler des EC-Algorithmus lässt sich abschätzen durch

$$\begin{aligned} \varepsilon(t) &\sim N \mathcal{O}(\Delta t^2) \sim N \mathcal{O}\left(\frac{T^2}{N^2}\right) \\ &\sim \mathcal{O}\left(\frac{T^2}{N}\right) \xrightarrow{N \rightarrow \infty} 0 \end{aligned}$$

1.2.2 Leapfrog Algorithmus

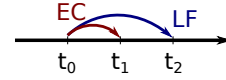
Anstatt der Newton-Gregory-Ableitung wird hier die symmetrische Stirling-Ableitung verwendet.

$$\vec{F}(y(t_i), t_i) = \vec{y}'(t_i) = \frac{\vec{y}(t_{i+1}) - \vec{y}(t_{i-1}))}{2\Delta t} + \mathcal{O}(\Delta t^2)$$

Auflösen nach $\vec{y}(t_{i+1})$ ergibt

$$\begin{aligned} \vec{y}(t_{i+1}) &= \vec{y}(t_{i-1}) + 2\vec{F}(y(t_i), t_i)\Delta t + \mathcal{O}(\Delta t^3) \\ \text{mit globalem Fehler: } \varepsilon(T) &\approx \mathcal{O}(\Delta t^2) \end{aligned}$$

Dabei ist zu beachten, dass $y(t_{-1})$ im Anfangswertproblem nicht bekannt ist, daher bestimme $\vec{y}(t_1)$ gemäß Euler-Cauchy. Am Anfang ist beträgt also der Schrittfehler des Algorithmus $\mathcal{O}(\Delta t^2)$, der globale Fehler bleibt $\mathcal{O}(\Delta t^2) \sim \varepsilon(T)$



1.2.3 Velocity-Verlet-Algorithmus

Anwendung des Leapfrog-Algorithmus auf die klassische Mechanik

$$\ddot{\vec{x}}(t) = \vec{a}(\vec{x}(t), t), \quad \vec{a} = \frac{\vec{F}}{m}$$

mit Kraft \vec{F} und Masse m . Definiere die Hilfsgröße \vec{y}

$$\vec{y}(t) = \begin{pmatrix} \vec{x}(t) \\ \vec{v}(t) \end{pmatrix}, \quad \dot{\vec{y}} = \begin{pmatrix} \vec{v}(t) \\ \vec{a}(\vec{x}(t), t) \end{pmatrix}$$

$$\begin{aligned} \vec{x}(t_{i+1}) &= \vec{x}(t_{i-1}) + 2\Delta t \vec{v}(t_i) \\ \vec{v}(t_{i+1}) &= \vec{v}(t_{i-1}) + 2\Delta t \vec{a}(\vec{x}(t_i), t_i) \end{aligned}$$

Spalte die Gleichung für \vec{v} in zwei Teilschritte

$$\begin{aligned} t_{i-1} : & \begin{cases} \vec{v}(t_i) = \vec{v}(t_{i-1}) + \vec{a}(\vec{x}(t_{i-1}), t_{i-1})\Delta t \\ \vec{x}(t_{i+1}) = \vec{x}(t_{i-1}) + 2\vec{v}(t_i)\Delta t \end{cases} \\ t_{i+1} : & [\vec{v}(t_{i+1}) = \vec{v}(t_i) + \vec{a}(\vec{x}(t_{i+1}), t_{i+1})\Delta t] \end{aligned}$$

$$\begin{aligned} \text{alternativ: } \vec{a}(\vec{x}(t_j), t_j) &= \left. \frac{d^2 x}{dt^2} \right|_{t=t_j} \\ &= \frac{\left. \frac{d^2 x}{dt^2} \right|_{t=t_{j+1}} - \left. \frac{d^2 x}{dt^2} \right|_{t=t_{j-1}}}{2\Delta t} \\ &= \frac{1}{2\Delta t} \left(\frac{x(t_{j+2}) - x(t_j)}{2\Delta t} - \frac{x(t_j) - x(t_{j-2})}{2\Delta t} \right) \\ &= \frac{1}{4(\Delta t)^2} (x(t_{j+2}) + x(t_{j-2}) - 2x(t_j)) \\ \Rightarrow & \boxed{\vec{x}(t_{j+2}) = 2\vec{x}(t_j) - \vec{x}(t_{j-2}) + 4(\Delta t)^2 \vec{a}(\vec{x}(t_j), t_j)} \end{aligned}$$

1.2.4 Verlet-Algorithmus

Velocity-Verlet \rightarrow Verlet: exterminierte die Geschwindigkeit

$$\begin{aligned} & \left| \begin{aligned} \vec{x}(t_{i+1}) &= \vec{x}(t_{i-1}) + 2\vec{v}(t_i)\Delta t \\ \vec{x}(t_{i+1}) &= \vec{x}(t_{i-1}) + 2[\vec{v}(t_{i-2}) + 2\vec{a}(\vec{x}(t_{i-1}), t_{i-1})\Delta t]\Delta t \\ \vec{x}(t_{i-1}) &= \vec{x}(t_{i-3}) + 2\vec{v}(t_{i-2})\Delta t \end{aligned} \right| \\ \Rightarrow & \boxed{\vec{x}(t_{i+1}) = 2\vec{x}(t_{i-1}) - \vec{x}(t_{i-3}) + 4\vec{a}(\vec{x}(t_{i-1}), t_{i-1})\Delta t^2} \end{aligned}$$

Vorteile des Verlet-Algorithmus in der klass. Mechanik

Zeitumkehrinvarianz der diskreten Zeitentwicklung ist exakt (nicht nur bis zur Ordnung $\mathcal{O}(\Delta t^3)$ in einem Zeitschritt, sondern mit Maschinengenauigkeit)

Zu zeigen: $t_{i-1} \rightarrow t_{i+1}$ unter Zeitumkehr mit Velocity-Verlet

$$\tilde{x}(t_{i+1}) := x(t_{i+1})$$

$$\tilde{v}(t_{i+1}) := -v(t_{i+1})$$

$$t_{i+1} \rightarrow t_{i+3}$$

$$\tilde{x}(t_{i+3}) \stackrel{!}{=} x(t_{i-1})$$

$$\tilde{v}(t_{i+3}) \stackrel{!}{=} v(t_{i-1})$$

Exakte Drehimpulserhaltung für Zentralpotential

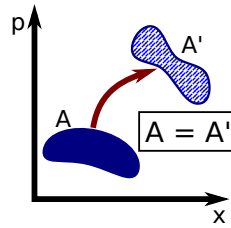


Abbildung 2.1: Erhaltung des Phasenraumvolumens

Erhaltung des Phasenraumvolumens

$$\Gamma = \int_{A(t_0)} d\vec{p} d\vec{x} \rightarrow [t] \int_{A(t)} d\vec{p}' d\vec{x}'$$

$$\text{Abbildung } \vec{x}' = \vec{x}(t + \Delta t) = \vec{x}'(\vec{x}, \vec{p})$$

$$\Gamma = \begin{pmatrix} \vec{x} \\ \vec{p} \end{pmatrix} \xrightarrow{\Delta t} \Gamma' = \begin{pmatrix} \vec{x}' \\ \vec{p}' \end{pmatrix}$$

$$\Gamma' = \int_{A'} d\vec{p} d\vec{x} = \int_A d\vec{p} d\vec{x} \left| \frac{\partial(\vec{x}', \vec{p}')}{\partial(\vec{x}, \vec{p})} \right| = \Gamma$$

$$\text{Jakobi-Determinante der Abbildung von } (\vec{x}, \vec{p}) \rightarrow (\vec{x}', \vec{p}') \rightarrow \left| \frac{\partial(\vec{x}', \vec{p}')}{\partial(\vec{x}, \vec{p})} \right|$$

1.2.5 Runge-Kutta Verfahren

Ausgangspunkt: formale Lösung in einem Zeitschritt

$$\begin{aligned} \vec{y}(t + \Delta t) &= \vec{y}(t) + \int_t^{t+\Delta t} dt' \quad \vec{F}(\vec{y}(t'), t') \\ &= \vec{y}(t) + \Delta t \int_0^1 d\alpha \quad \vec{F}(\vec{y}(t + \alpha \Delta t), t + \alpha \Delta t) \end{aligned}$$

hier klammer mit $= g(\alpha)$

Idee: approximiere das Integral durch eine numerische Quadratur

$$\begin{aligned} \vec{g}(\alpha) &= \vec{F}(\vec{y}(t + \alpha \Delta t), t + \alpha \Delta t) \\ \int_0^1 d\alpha \vec{g}(\alpha) &= \sum_{j=1}^m \beta_j \vec{g}(\gamma_j) \quad \gamma_j, j = 1, \dots, m \text{ Stützstellen/Knoten} \\ &\quad \beta_j \text{ Gewichte} \end{aligned}$$

fordere $g(\alpha) = 1$ exakt integriert FORMEL?

$$\rightarrow \vec{y}(t + \Delta t) \approx \vec{y}(t) + \Delta t \sum_{j=1}^m \beta_j \vec{g}(\gamma_j)$$

Problem: $\vec{g}(\gamma_j) = \vec{F}(\vec{y}(t + \gamma_j \Delta t), t + \gamma_j \Delta t)$ sind unbekannt

Lösung:

$$\vec{y}(t + \gamma_j \Delta t) = \vec{y}(t) + \Delta t \int_0^{\gamma_j} d\alpha \vec{g}(\alpha) \approx \vec{y}(t) + \Delta t \left[\sum_{l=1}^m \alpha_{j,l} \vec{g}(\gamma_l) \right]$$

und benutze die gleichen Stützstellen γ_j
 fordere $\gamma_j = \int_0^{\gamma_j} d\alpha \approx \sum_{l=1}^m \alpha_{j,l}$

Expliziter RK-Algorithmus: $\alpha_{j,l} = 0, j \leq l$

definiere Abkürzungen: Hier ist was auskommentiert. weil es nicht kompiliert

$$\vec{k}_j \equiv \vec{F}(y(t + \gamma_j \Delta t), t + \gamma_j \Delta t) = \vec{g}(\gamma_j)$$

$$\left. \begin{aligned} \Rightarrow \quad \vec{k}_j &\approx \vec{F}(\vec{y}(t) + \Delta t \sum_{l=1}^m \alpha_{j,l} \vec{k}_l, t + \gamma_j \Delta t) \\ \text{und} \quad y(t + \Delta t) &= y(t) + \Delta t \sum_{j=1}^m \beta_j \vec{k}_j \end{aligned} \right\} \begin{array}{l} \text{explizites RK Verfahren,} \\ \text{falls } \alpha_{j,l} = 0 \text{ für } j \leq l \end{array}$$

Runge-Kutta Algorithmus

Koeffizienten lassen sich im RK-Tablaue/ Butcher-Matrix zusammenfassen:

$$\left(\begin{array}{c|cccc} \gamma_1 & \alpha_{11} & \alpha_{12} & \dots & \alpha_{1m} \\ \gamma_2 & \alpha_{21} & \alpha_{22} & \dots & \alpha_{2m} \\ \vdots & \vdots & \vdots & \vdots & \vdots \\ \gamma_m & \alpha_{m1} & \alpha_{m2} & \dots & \alpha_{mm} \\ \hline 1 & \beta_1 & \beta_2 & \dots & \beta_m \end{array} \right) \quad \begin{array}{l} \text{für explizites Verfahren:} \\ \alpha_{j,l} = 0 \text{ für } j \leq l \end{array}$$

explizites RK-Verfahren 2-stufig m=2

$$\left(\begin{array}{c|cc} \gamma_1 = 0 & 0 & 0 \\ \gamma_2 = 1 & \alpha = \alpha_{21} & 0 \\ \hline 1 & \beta_1 & \beta_2 = 1 - \beta_1 \end{array} \right) \quad \begin{array}{l} \vec{k}_1 = \vec{F}(\vec{y}(t), t) \\ \vec{k}_2 = \vec{F}(\vec{y}(t) + \Delta t \alpha_{21} \vec{k}_1, t + \gamma_2 \Delta t) \end{array}$$

$$\vec{y}(t + \Delta t) = \vec{y}(t) + \Delta t \beta_1 \vec{F}(\vec{y}(t), t) + \Delta t (\beta_1 - 1) \underbrace{\vec{F}(\vec{y}(t) + \Delta t \alpha_{21} \vec{k}_1, t + \gamma_2 \Delta t)}_{\vec{k}_2}$$

optimiere die beiden Parameter $\alpha = \alpha_{21} = \gamma_2, \beta = \beta_1 = 1 - \beta_2$ so, dass der Fehler von der Ordnung Δt^3 ist.

$$\begin{aligned} \vec{y}(t + \Delta t) - \vec{y}(t) &= \vec{F}(\vec{y}(t), t) \Delta t + \frac{1}{2} \frac{d}{dt} \vec{F}(\vec{y}(t), t) \Delta t^2 + \mathcal{O}(\Delta t^3) \\ &= \vec{F}(\vec{y}(t), t) \Delta t + \frac{1}{2} \left[\frac{\partial \vec{F}}{\partial \vec{y}} \frac{\partial \vec{y}}{\partial t} + \frac{\partial \vec{F}}{\partial t} \right] \Delta t^2 + \mathcal{O}(\Delta t^3) \\ &= \vec{F}(\vec{y}(t), t) \Delta t + \frac{1}{2} \left[\frac{\partial \vec{F}}{\partial \vec{y}} \vec{F} + \frac{\partial \vec{F}}{\partial t} \right] \Delta t^2 + \mathcal{O}(\Delta t^3) \end{aligned}$$

Taylor-Entwicklung der RK2-Lösung:

$$\begin{aligned} \vec{y}(t + \Delta t) - \vec{y}(t) &= \beta \vec{F}(\vec{y}(t), t) \Delta t + (1 - \beta) \left[\vec{F}(\vec{y}(t), t) + \frac{\partial \vec{F}}{\partial \vec{y}} \alpha \Delta t \vec{k}_1 + \frac{\partial \vec{F}}{\partial t} \alpha \Delta t \right] \Delta t + \mathcal{O}(\Delta t^3) \\ &= \vec{F}(\vec{y}(t), t) \Delta t + \Delta t^2 (1 - \beta_1) \alpha \left[\frac{\partial \vec{F}}{\partial \vec{y}} \vec{F} + \frac{\partial \vec{F}}{\partial t} \right] + \mathcal{O}(\Delta t^3) \end{aligned}$$

Koeffizientenvergleich liefert $(1 - \beta)\alpha \stackrel{!}{=} 1/2 \rightarrow$ wähle $\alpha = 1/2$ $\beta = 0$
 \Rightarrow exakte Entwicklung und RK2 stimmen bis Ordnung $\mathcal{O}(\Delta t^3)$ überein.

RK2-Verfahren:

$$\boxed{\begin{array}{l} \vec{y}(t + \Delta t) = \vec{y}(t) + \Delta t \vec{F}(\vec{y}(t)) + \frac{1}{2} \Delta t \vec{k}_1, t + \frac{1}{2} \Delta t \\ \text{mit } \vec{k}_1 = \vec{F}(\vec{y}(t), t) \end{array}}$$

Vergleich zwischen RK2 und Leapfrog:

$$\begin{aligned} \text{RK: } y(t + 2\Delta t) &= y(t) + 2\Delta t F(y(t) + \Delta t F(y(t), t), t + \Delta t) \\ y(t + \Delta t) &= y(t - \Delta t) + 2\Delta t F(y(t - \Delta t) + 2\Delta t F(y(t - \Delta t), t), t) \\ \text{LF: } y(t + \Delta t) &= y(t - \Delta t) + 2\Delta t F(y(t), t) \end{aligned}$$

Standard RK4-Verfahren(ohne Beweis)

$$\left(\begin{array}{c|ccccc} \gamma_1 = 0 & 0 & 0 & 0 & 0 \\ \gamma_2 = 1/2 & 1/2 & 0 & 0 & 0 \\ \gamma_3 = 1/2 & 0 & 1/2 & 0 & 0 \\ \gamma_4 = 1 & 0 & 0 & 1 & 0 \\ \hline 1 & \beta_1 = 1/6 & \beta_2 = 2/6 & \beta_3 = 2/6 & \beta_4 = 1/6 \end{array} \right) \begin{array}{l} \vec{k}_1 = \vec{F}(\vec{y}(t), t) \\ \vec{k}_2 = \vec{F}(\vec{y}(t) + \Delta t^{1/2} \vec{k}_1, t + 1/2 \Delta t) \\ \vec{k}_3 = \vec{F}(\vec{y}(t) + \Delta t^{1/2} \vec{k}_2, t + 1/2 \Delta t) \\ \vec{k}_4 = \vec{F}(\vec{y}(t) + \Delta t \vec{k}_3, t + \Delta t) \\ \vec{k}_j = \vec{F}(\vec{y}(t) + \Delta t \sum_l \alpha_{j,l} \vec{k}_l, t + \gamma_j \Delta t) \end{array}$$

$$\vec{y}(t + \Delta t) = \vec{y}(t) + \frac{\Delta t}{6} (\vec{k}_1 + 2\vec{k}_2 + 2\vec{k}_3 + \vec{k}_4) + \mathcal{O}(\Delta t^5)$$

1.2.6 Schrittweitenanpassung und Fehlerkontrolle

$$\vec{y}(t_0) = \vec{y}_0, \quad \vec{y}(t + \Delta t) = \vec{y}^{(0)}(t + \Delta t) + c \Delta t^{m+1} + \mathcal{O}(\Delta t^{m+2})$$

mit gleichem Anfangswert
 Idee: Zeitpropagation um Δt

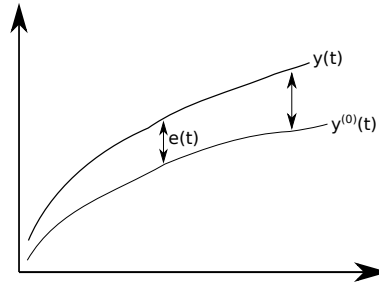
$$y_1(t + \Delta t) = y^{(0)}(t + \Delta t) + c \Delta t^{m+1} + \mathcal{O}(\Delta t^{m+2})$$

2x Zeitpropagation um $\frac{\Delta t}{2}$

$$\begin{aligned} y_2(t + \Delta t/2) &= y^{(0)}(t + \Delta t/2) + c \left(\frac{\Delta t}{2} \right)^{m+1} + \mathcal{O}(\Delta t^{m+2}) \\ y_2(t + \Delta t) &= y^{(0)}(t + \Delta t) + 2c \left(\frac{\Delta t}{2} \right)^{m+1} + \mathcal{O}(\Delta t^{m+2}) \end{aligned}$$

Mit der Differenz zwischen den Schritten:

$$\begin{aligned} \Rightarrow \Delta y_{12} &= |y_1(t + \Delta t) - y_2(t + \Delta t)| \\ &= |c| \left(1 - \frac{1}{2^m} \right) \Delta t^{m+1} \end{aligned}$$

Abbildung 3.1: Skizze mit numerischer Lösung $y(t)$ und tatsächlicher Lösung $y^{(0)}(t)$

Ziel: wähle $\widetilde{\Delta t}$ so, dass

$$\begin{aligned}
 |y_2(t + \widetilde{\Delta t}) - y^{(0)}(t + \widetilde{\Delta t})| &= \frac{|c|}{2^m} \widetilde{\Delta t}^{m+1} \leq \delta_0 \\
 \Rightarrow \frac{|c| 2^{-m} \widetilde{\Delta t}^{m+1}}{|c| \widetilde{\Delta t}^{m+1} (1 - 2^{-m})} &\leq \frac{\delta_0}{\Delta y_{12}} \\
 \Rightarrow \left(\frac{\widetilde{\Delta t}}{\Delta t} \right)^{m+1} &\leq \frac{\delta_0}{\Delta y_{12}} \left(1 - \frac{1}{2^m} \right) \frac{1}{2^m} \leq \frac{\delta_0}{\Delta y_{12}} \\
 \Rightarrow \widetilde{\Delta t} &\leq \left(\frac{\delta_0}{|\Delta y_{12}|} \right)^{\frac{1}{m+1}} \Delta t
 \end{aligned}$$

Algorithmus:

falls $\Delta t \leq \widetilde{\Delta t}$ \rightarrow $y(t + \Delta t)$ ist OK und benutze $\widetilde{\Delta t}$ im nächsten Schritt

falls $\Delta t \geq \widetilde{\Delta t}$ \rightarrow ist nicht OK und berechne $y(t + \widetilde{\Delta t})$ neu mit $\widetilde{\Delta t}$.

1.3 Stabilität von ODEs

betrachte $y(t) = F(y(t), t)$ mit Anfangsbedingung, $y^{(0)}$ sei die exakte Lösung, $y(t)$ die numerische.

$$y(t) = y^{(0)}(t) + e(t)$$

Stabilität Wachstum des Fehlers $e(t)$

$$\begin{aligned}
 y(t_{i+1}) &= y^{(0)}(t_{i+1}) + e(t_{i+1}) = y(t_i) + F(y(t_i), t_i) \Delta t + \mathcal{O}(\Delta t^2) \\
 &= y^{(0)}(t_i) + e(t_i) + F(y(t_i), t_i) \Delta t + \mathcal{O}(\Delta t^2) \\
 &= T(y^{(0)}(t_i), e(t_i)) \quad \text{Zeittrans.fuer den Zeitschritt } \Delta t \\
 y^{(0)}(t_{i+1}) + e(t_{i+1}) &= \underbrace{T(y^{(0)}(t_i), 0)}_{=y^{(0)}(t_i)} + \frac{dT}{de} e(t_i) + \dots
 \end{aligned}$$

Abschätzung für die Zeitentwicklung des globalen Fehlers $e(t_{i+1}) = T'e(t_i)$

Stabilität: Fehler bleibt beschränkt für $t \rightarrow \infty$ falls $\left| \frac{dT}{de} \right|$

a) $dy/dt = \lambda y$ $\lambda \in \mathbb{C}$

Lösung bleibt beschränkt falls $|1 + \lambda \Delta t| \leq 1$

impliziter Euler-Algorithmus

$$\dot{y}(t) = r_0 [1 - Ky(t)] y(t) \quad y(0) = y_0$$

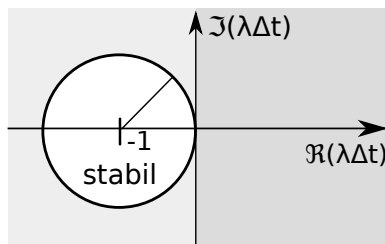


Abbildung 3.2

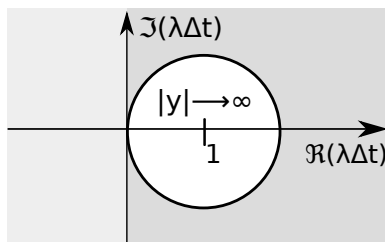


Abbildung 3.3

$$\text{analytische Lösung: } y(t) = \frac{y_0 e^{r_0 t}}{1 + K y_0 (e^{r_0 t} - 1)}$$

Euler Cauchy Algorithmus:

$$y(t_{i+1}) = y(t_i) + r_0(1 - K y(t_i)) y(t_i) \Delta t = (1 + r_0 \Delta t) y(t_i) - r_0 K \Delta t y^2(t_i)$$

$$\alpha y(t_{i+1}) = \underbrace{(1 + r_0 \Delta t)}_{=\text{const.}} \alpha y(t_i) \underbrace{\left[1 - \frac{r_0 K \Delta t}{1 + r_0 \Delta t} y(t_i) \right]}_{1 - x(t_i)}$$

$$x(t_{i+1}) = 4\mu x(t_i) [1 - x(t_i)] \quad \text{logistische Abbildung}$$

$$x^{(0)}(t_{i+1}) + e(t_{i+1}) = T(x_i^{(0)}, e_i) = 4\mu(x^{(0)}(t_i) + e(t_i)) \left[1 - ((x^{(0)}(t_i) + e(t_i))) \right]$$

$$T'(x, e = 0) = 4\mu(1 - 2x)$$

→ Stabilitätskriterium $|T'| = 4\mu|1 - 2x| \leq 1$

$$t \rightarrow \infty \Rightarrow x \rightarrow \frac{4\mu - 1}{4\mu}$$

$$\Rightarrow |T'| \rightarrow 4\mu \left| \frac{4\mu - 2(4\mu - 1)}{4\mu} \right| = |2 - 4\mu| \leq 1$$

$$\Rightarrow 4\mu \leq 3 \quad \mu \leq \frac{3}{4} \quad \text{oder} \quad r_0 \Delta t \leq 2$$

$t = 1000$ Zeitschritte

Item? gedämpfte Schwingungungungungungung....

$$\begin{aligned}
 0 &= \ddot{y} + \Gamma \dot{y} + \omega_0^2 y \\
 y_1(t) &= y(t) \\
 y_2(t) &= \dot{y}(t) \\
 \frac{d}{dt} \begin{pmatrix} y_1 \\ y_2 \end{pmatrix} &= \begin{pmatrix} y_2 \\ -\Gamma y_2 - \omega_0^2 y_1 \end{pmatrix} = \begin{pmatrix} 0 & 1 \\ -\omega_0^2 & -\Gamma \end{pmatrix} \\
 \dot{\vec{y}} = F(\vec{y}, t) = \mathbb{L} \quad \text{mit} \quad \mathbb{L} = \frac{\partial \vec{F}}{\partial \vec{y}} &= \begin{pmatrix} 0 & 1 \\ -\omega_0^2 & -\Gamma \end{pmatrix} = \text{const.}
 \end{aligned}$$

Euler-Cauchy Algorithmus

$$\begin{aligned}
 \vec{y}(t_{i+1}) &= \vec{y}(t_i) + \mathbb{L} \vec{y}(t_i) \Delta t = (1 + \mathbb{L} \Delta t) \vec{y}(t_i) \\
 \mathbb{T}(\vec{y}, \vec{e}) &= (1 + \mathbb{L} \Delta t)(\vec{y} + \vec{e}) \quad \mathbb{T}' = \frac{\partial \mathbb{T}}{\partial \vec{e}} = 1 + \mathbb{L} \Delta t
 \end{aligned}$$

Stabilitätskriterium: alle Eigenwerte der Matrix \mathbb{T}' sind betragsmäßig ≤ 1

$$\begin{aligned}
 \mathbb{T}' &= \begin{pmatrix} 1 & \Delta t \\ -\omega_0^2 \Delta t & 1 - \Gamma \Delta t \end{pmatrix} \\
 &\rightarrow \text{Charakteristisches Polynom} \\
 \lambda_{1,2} &= 1 - \frac{\Gamma \Delta t}{2} \pm \sqrt{\frac{(\Gamma \Delta t)^2}{4} - (\omega_0 \Delta t)^2}
 \end{aligned}$$

Fallunterscheidung

i) unterdämpfte Schwingung $\Gamma \leq 2\omega_0$

$$\rightarrow \omega_0^2 \Delta t \leq \Gamma$$

ii) Kriechfall $\Gamma > 2\omega_0$

$$2\Gamma \Delta t < 4 + (\omega_0 \Delta t)^2$$

allgemeine Überlegung: ohne Beweis: $\dot{y}(t) = F(y(t), t)$, $y(t_0) = y_0$

Idee: nähere ODE linear um t_0

$$\begin{aligned}
 \delta y(t) &= y(t) - y_0 - F(y_0, t_0)(t - t_0) \\
 \delta \dot{y}(t) &= \dot{y}(t) - F(y_0, t_0) = F(y(t), t) - F(y_0, t_0) = \left. \frac{dF}{dy} \right|_0 (y(t) - y_0) + \left. \frac{dF}{dt} \right|_0 \Delta t \\
 &= \left. \frac{\partial F}{\partial y} \right|_0 \delta y(t) + \left\{ \left. \frac{\partial F}{\partial y_0} \right|_0 F(y_0, t_0) + \frac{\partial F}{\partial t} \right\} \Delta t
 \end{aligned}$$

Euler-Schritt für δy

$$\delta y(t_{i+1}) = \left. \frac{dF}{dy} \right|_0 \Delta t \delta y(t_i) + \mathcal{O}(\Delta t^2)$$

Ersetze $\lambda \rightarrow \left. \frac{dF}{dy} \right|_0$.

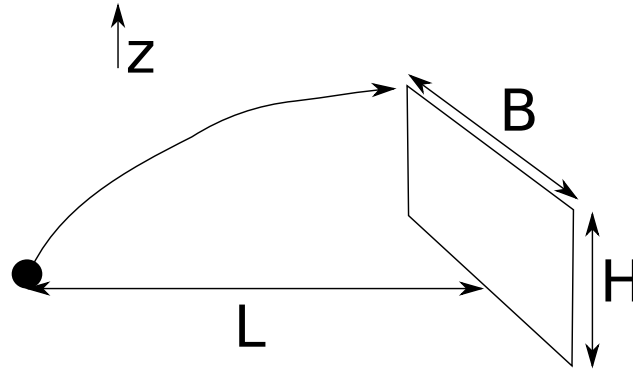


Abbildung 4.1: Fliegender Fußball

1.4 Molekulardynamik

Velocity-Verlet-Algorithmus Newton'sche Bewegungsgleichungen:

$$\begin{aligned}\ddot{\vec{x}} &= \vec{a}(\vec{x}, t), & \vec{a} &= \frac{\vec{F}}{m} \\ \vec{v}(t + \Delta t/2) &= \vec{v}(t) + 1/2 \vec{a}(\vec{x}, t) \Delta t \\ \vec{x}(t + \Delta t) &= \vec{x}(t) + \vec{v}(t + \Delta t/2) \Delta t \\ \vec{v}(t + \Delta t) &= \vec{v}(t + \Delta t/2) + 1/2 \vec{a}(\vec{x}(t + \Delta t), t + \Delta t) \Delta t \\ &= \vec{v}(t) + 1/2 (\vec{a}(\vec{x}(t), t) + \vec{a}(\vec{x}(t + \Delta t), t + \Delta t)) \Delta t\end{aligned}$$

1.4.1 Anwendung

Fußball

physikalisches Problem: Ball soll in linke obere Ecke des Tors fliegen →schräger Wurf

$$\ddot{\vec{x}} = \vec{a} \quad \text{Beschleunigung}$$

Kräfte

$$\vec{F}_G = -m * g * \hat{e}_z$$

$$\vec{F}_R = -\frac{c_w}{2} \rho A |\vec{v}|^2 \hat{e}_v$$

$$\vec{F}_M = \frac{c_M}{2} \rho A R \vec{\omega} \times \vec{v}$$

A Ballquerschnitt

ρ Luftdichte

c_w Widerstandskoeffizient

R Ballradius

ω Winkelgeschwindigkeit

phys. Modell:

$$m\ddot{\vec{x}} = -mg\hat{e}_z - \frac{c_w}{2} \rho A |\vec{v}|^2 \hat{e}_v + \frac{c_M}{2} \rho A R \vec{\omega} \times \vec{v}$$

dimensionslose Größen:

$$\begin{aligned}\vec{x}(t) &\longrightarrow \tilde{x}(\tau) \\ \vec{x} &= L\tilde{x} \quad \text{Längenskala} \\ t &= T\tau \quad \text{Zeitskala} \\ \text{Geschwindigkeit} \quad \dot{\vec{x}} &= \frac{d}{dt}L\tilde{x} = \frac{L}{T}\frac{d\tilde{x}}{d\tau} = \frac{L}{T}\tilde{x}' \\ \text{Beschleunigung} \quad \ddot{\vec{x}} &= \frac{L}{T^2}\tilde{x}''\end{aligned}$$

Schreiben wir damit die dimensionslose Bewegungsgleichung als

$$\tilde{x}'' = -\tilde{g}e_z - \tilde{c}_w|\tilde{x}'|^2\hat{e}_{\tilde{x}'} + \tilde{c}_M\vec{\omega} \times \tilde{x}'$$

mit $\tilde{g} = \frac{gT^2}{L}$, $\tilde{c}_w = \frac{c_w\rho AL}{2m}$ und $\tilde{c}_M = \frac{c_w\rho AR}{2m}$

Anfangswert- und Randwertprobleme hier gegeben:

$$\begin{aligned}\tilde{x}(0) &= \vec{0} \quad \text{o.B.d.A. Wahl des Koord.ursprungs} \\ \tilde{x}(T_0) &= L_0 \\ \left. \begin{aligned}\tilde{y}(T) &= \frac{B}{2} \\ \tilde{z}(T) &= H\end{aligned} \right\} \quad \text{linke, obere Ecke, } T \text{ Flugzeit zum Tor}\end{aligned}$$

Anfangswerte \tilde{x} , \tilde{v} und $\tilde{\omega}$

Randwerte $\tilde{x}(0), \tilde{x}(T_0)$ 10 Unbekannte $\tilde{x}(0), \tilde{v}(0), \tilde{\omega}, T$ 4-dim. Lösungsraum

Einschränkung: $\tilde{v}_x(0)$ $\vec{\omega}$ wähle ich zusätzlich \rightarrow eindeutige Lösung $\tilde{y}(0)$ und $\tilde{z}'(0)$ + Randwerte

Algorithmus und Implementation Algorithmus: Schießmethode

Idee: Rate geeignete Startwerte und verbessere geeignete Startwerte aus schiefer Wurf - 0. Ordnung

$$c_w = c_m = 0$$

$$\begin{aligned}\tilde{x}(T_0) &= L_0 \quad T_0 = \frac{L_0}{\tilde{v}_x(0)} \\ \tilde{z}(T_0) &= \tilde{v}_z(0)\tau - \frac{1}{2}\tilde{g}\tau^2 = H_0 \\ \tilde{y}(T_0) &= \tilde{v}_y(0)\tau \\ \Rightarrow \left. \begin{aligned}\tilde{z}'_0 &= \frac{v_x^{(0)}H_0}{L_0} + \frac{1}{2}\tilde{g}\frac{L_0}{\tilde{v}(0)} \\ \tilde{y}''(0) &= \frac{v_x^0}{L_0}\frac{B_0}{2}\end{aligned} \right\} \quad \text{geeignete Zustände}\end{aligned}$$

„verbessern“ = Nullstellensuche Integriere Bewegungsgleichung bis T_0 gegeben durch $\tilde{x}(T_0) = L_0$.

$$\left. \begin{aligned}\tilde{y}(T_0) - \frac{B_0}{2} &= 0 \\ \tilde{z}(T_0) - H &= 0\end{aligned} \right\} \quad \begin{array}{l} 2. \text{ Gleichungen für zwei Unbekannte} \\ \tilde{y}'(0) \\ \tilde{z}'(0) \end{array}$$

\rightarrow Empfehlung: Newton-Raphson

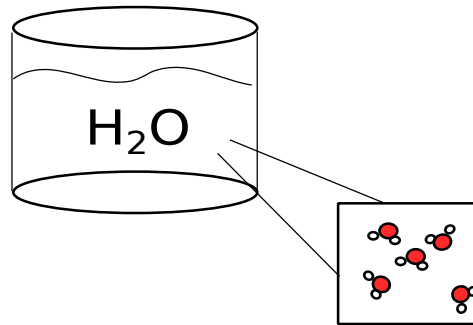


Abbildung 4.2: Wasserglas

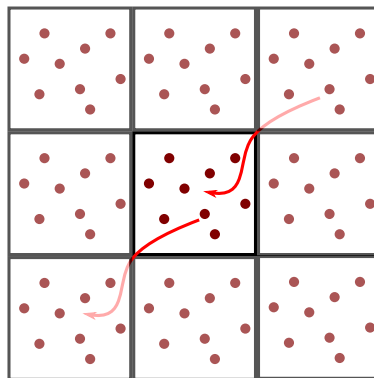


Abbildung 4.3: Ach. Egal...

Vielteilchensystem

Periodische Randbedingungen und "minimum image convention", Boxstrukturen

Frage: Wie simuliere ich einen kleinen Ausschnitt des Wasserglases?

Geometrische Einschränkung: konstante Dichte $\rho = N/V$

Minimierung von Randeffekten: periodische Randbedingungen.

Idee: Umgebe das System mit Bildern von sich selbst.

Zwei Operationen:

- a) Zurückfalten einer beliebigen Position \vec{x} in das zentrale Bild \vec{x}_P

```
x -> xp = x - L*(int)(x/L);
if(xp < 0) { xp += L; }
```

- b) minimum image convention

paarweise Wechselwirkung $V(d) \rightarrow$ kleinster Abstand d_2 , Berechnung:

$$d = \underbrace{x_2 - x_3}_{d_1} - L(\text{rint})\left(\frac{x_2 - x_3}{L}\right)$$

$$\Rightarrow |d| \leq \frac{L}{2}$$

- c) Boxstrukturen um Nachbarn effizient zu finden

typisch: paarweise Wechselwirkungen mit endlicher Reichweite $V(r) = 0$ für $r > r_0$

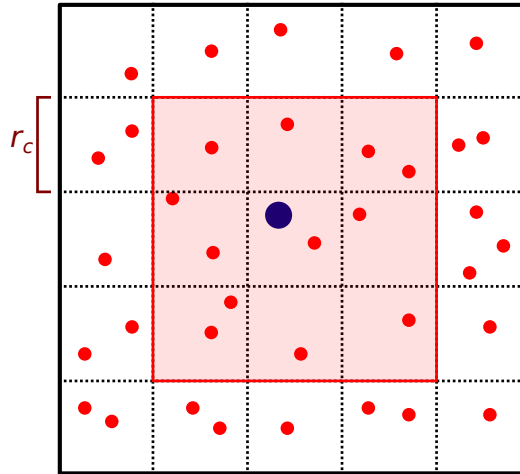


Abbildung 4.4: Unterboxen

Berechnung der Kraft auf Teilchen

$$\vec{F}_i = \sum_{j \neq i} \vec{F}_{ij} = - \sum_{j \neq i} \frac{\partial v(r_{ij})}{\partial \vec{r}_i} \quad r_{ij} = |\vec{r}_i - \vec{r}_j|$$

\Rightarrow Berechnung aller Kräfte/Energien ist $\mathcal{O}(n^2)$

Trick: Unterteile die Simulationszelle in Unterboxen mit Kantenlänge r_c .

Teilchen i kann nur mit Teilchen j der gleichen oder benachbarten Boxen interagieren.

$$\vec{F}_i = \underbrace{\sum_{b \in \text{Nachbar}}}_{3^d} \underbrace{\sum_{j \in b} \vec{F}_{ij}}_{\rho r_c^3}$$

$$\Rightarrow \text{Berechnung: } 3^d \cdot \rho \cdot r_c^3 \cdot N \propto \mathcal{O}(N)$$

Implementierung:

- Funktion, welche aus den Teilchenkoordinaten den Index der zugehörigen Box bestimmt
- jede Unterbox kennt die Liste der Teilchen, welche sich in ihrer Box befinden
- bei der Teilchenbewegung wird die Boxliste auf den neuesten Stand gebracht. Das heißt, verlässt ein Teilchen seine Box, muss es daraus entfernt werden und in eine neue Box eingetragen werden.

1.4.2 Exkurs: Parallele Programmierung

Warum? Die Taktfrequenz moderner CPUs steigt seit Anfang 2000 nicht weiter an.

Aber: Entwicklung von Multi- & Manycore-Architekturen \Rightarrow Für weitere Steigerung der Leistung ist eine Verteilung auf parallele Prozesse notwendig.

1.4.2.1 Generelle Betrachtung

Jeder Algorithmus kann in einen parallelen Anteil t_p und einen seriellen Anteil aufgeteilt werden. t_p wird von n_p Prozessoren bearbeitet. Der maximale Speedup skaliert linear mit n_p .

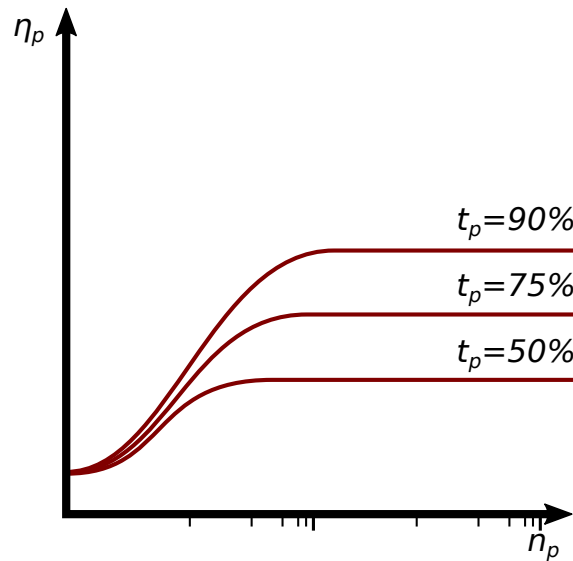


Abbildung 4.5: Amdahlsches Gesetz

Konstante Problemgröße – Strong Scaling Amdahlsches Gesetz (1967)

$$\text{Gesamtlaufzeit: } T = t_s + t_p$$

$$\eta_S = \frac{T}{t_s + \frac{t_p}{n_p}}$$

Der Speedup ist limitiert durch den seriellen Anteil, in der Realität zudem nach einem Synchronisationsanteil.

$$\eta_S = \frac{T}{t_s + \frac{t_p}{n_p} + t_{O(n_p)}} < 1 \quad \text{für große } n_p$$

Skalierbare Problemgröße (Weak Scaling) Gustavsons Gesetz (1980)

Statt fester Systemgröße und die Ausführungszeit T fixiert und die Problemgröße mit n_p angepasst.

$$\eta_S = \left(1 - \frac{t_s}{T}\right) + n_p \frac{t_p}{T}$$

Einschränkungen:

- i) Nicht anwendbar wenn algorithmischer Aufwand stärker als linear ansteigt.
- ii) Nicht jedes Problem ist sinnvoll vergrößerbar
- iii) Synchronisations $t_{O(n_p)}$

1.4.2.2 Architekturen

Non-shared memory Unabhängige Computer werden mittels eines Netzwerkes zusammengeschlossen.

Geeignet für Berechnung von großem bis sehr großem Aufwand

Parallelisierungsansätze:

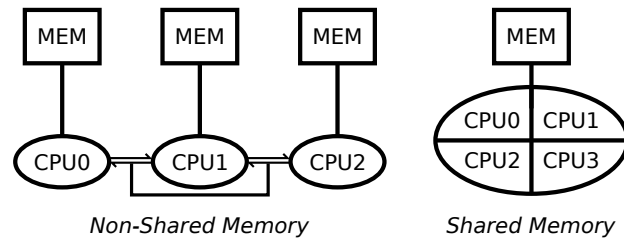


Abbildung 4.6: Architekturen

Vorteile	Nachteile
beliebig skalierbar günstige Hardware	erhöhter Programmieraufwand teure Netzwerkarchitektur oder langsame Synchronisation hoher Speicherbedarf

- i) Teilung des Gesamtproblems in möglichst unabhängige Teilprobleme.
- ii) Kommunikation selten, dafür große Mengen

Implementierung: Message Passing Interface MPI

Shared Memory Mehrere CPUs greifen auf einen gemeinsamen Speicher zu.
Geeignet für die Parallelisierung von Problemen mit kleinem bis mittlerem Aufwand

Vorteile	Nachteile
schnelle Kommunikation z.T. einfache Programmierung	begrenzte Parallelität mögliche Race conditions

Parallelisierungsansätze:

- i) Jede mögliche Berechnung parallel implementieren auch kleine Teilstücke
- ii) Unabhängige Schleifenkörper

Implementierung: OpenMP, pthreads, std::thread (C++)

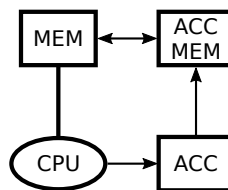


Abbildung 4.7: Accelerator-Architektur

Accelerator (GPU) Accelerator haben ihren eigenen (schnellen) Speicher und beschleunigen durch extreme Parallelität.

Zur Zeit schnellste Implementationsmöglichkeit für mittlere bis große Probleme.

Implementierungen: CUDA: Nvidia GPUs, OpenACC: versch.

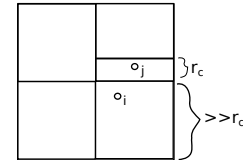
1.4.2.3 Anwendungsbeispiel: Molekulardynamik-Simulationen

Vorteile	Nachteile
hohe Parallelität	hoher Programmieraufwand
sehr schnelle Speicher	Verfügbarkeit
Energieeffizient	limitierte Kommunikation
	doppelte Speicherverwaltung
	hohe Parallelität notwendig

Domain Decomposition

- Unabhängige Berechnung der Einzeldomänen
- Kommunikation aller Teilchen in den Ghostlayern
Nur nächste Nachbarn = $t_{\mathcal{O}(n_p)} = \mathcal{O}(1)$

⇒ MPI-Parallel umsetzen



Particle Decomposition

- 1) Berechnung der Kräfte \vec{F}_i parallel $\forall i$
- 2) Synchronisation
- 3) Paralleler Propagation aller Teilchen

Moderne MD-Pakete kombinieren beide Strategien, z.B. HOOMD-blue, LAMMPS

Kapitel 2

Partielle Differentialgleichungen

Typische Beispiele

a) **Wellengleichung**

$$\left(\Delta - c^2 \frac{\partial^2}{\partial t^2}\right) \varphi(\vec{x}, t) = 0$$

b) **Navier-Stokes-Gleichung**

c) **Poissongleichung**

$$\Delta \varphi(x) = -\frac{1}{\varepsilon_0} \rho(\vec{x})$$

d) **Diffusionsgleichung**

$$\frac{\partial p}{\partial t} = D \Delta p$$

e) **Fokker-Planck-Gleichung**

$$\frac{\partial p}{\partial t} = -\nabla(\vec{A}p) + \frac{1}{2} \Delta(Bp)$$

$p(\vec{x}, t)$ Wahrscheinlichkeitsdichte

2.1 Lösungsverfahren

hier: betrachten lineare PDE

$$\mathcal{L}(\varphi(x)) = b(\vec{x})$$

\mathcal{L} lineare Differentialoperator, $\vec{x} \in \Omega$, Randwertproblem mit

$$\varphi(x) = V_0(\vec{x}) \quad x \in \partial\Omega$$

2.1.1 Finite Differenzen

Idee:

- a) diskretisiere den Raum $\vec{x} \in \mathbb{R}^n$ durch ein Gitter
- b) approximiere den Differentialoperator durch finite Differenzen
- c) lineare PDE \rightarrow lineares Gleichungssystem

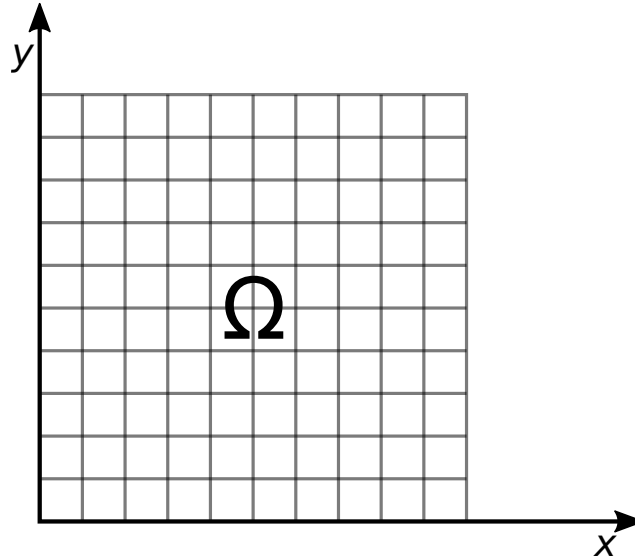


Abbildung 1.1: omega

Beispiel: Poissongleichung in 2 räumlichen Dimensionen $\Delta\varphi = \frac{1}{\varepsilon_0}\rho(\vec{x}) \quad \vec{x} \in \mathbb{R}^2$ + Randbedingungen

reguläres Quadratgitter

$$\vec{x} = (i_x k_x, i_y k_y) \quad i_x, i_y \in \mathbb{N}_0$$

$$0 \leq i_x < N_x \quad k_x = \frac{L_x}{N_x - 1}$$

$$0 \leq i_y < N_y$$

Initialisierung der Gitterpunkte

a) i_x, i_y

b) typewriter-Indizierung

$$j = N_x i_y + i_x \quad j = 0, \dots, N_x N_y - 1$$

$$\text{oder} \quad j = N_x i_y + i_x + 1 \quad j = 1, \dots, N_x N_y = N$$

Schritt b): Wdh.

$$f(x) \quad x \in \mathbb{R} \quad f_i = f(x_i) \quad x_i = k_i$$

$$f''(x_i) = \frac{f_{i+1} + f_{i-1} - 2f_i}{k^2} + \mathcal{O}(k^2)$$

Verallgemeinerung auf den Laplaceoperator:

$$\Delta\varphi = \left(\frac{\partial^2}{\partial x^2} + \frac{\partial^2}{\partial y^2} \right) \varphi \approx \frac{\varphi(i_x + 1, i_y) + \varphi(i_x - 1, i_y) - 2\varphi(i_x, i_y)}{h_x^2} + \frac{\varphi(i_x, i_y + 1) + \varphi(i_x, i_y - 1) - 2\varphi(i_x, i_y)}{h_y^2}$$

$$\Delta\varphi(i_x, i_y) = \frac{1}{h^2} [\varphi(i_x + 1, i_y) + \varphi(i_x - 1, i_y) + \varphi(i_x, i_y + 1) + \varphi(i_x, i_y - 1) - 4\varphi(i_x, i_y)]$$

Diskretisierung der Poissongleichung $\frac{1}{4}\Delta\varphi(x, y) = -\frac{1}{4\varepsilon_0}\rho(x, y)$

$$\frac{1}{4}[\varphi(i_x + 1, i_y) + \varphi(i_x - 1, i_y) + \varphi(i_x, i_y + 1) + \varphi(i_x, i_y - 1)] - \varphi(i_x, i_y) = \frac{h^2}{4\varepsilon_0}\rho(i_x, i_y)$$

Für alle inneren Punkte von Ω . NB: $\rho = 0 \rightarrow$ Laplace Gleichung $\Delta\varphi = 0$

$\varphi(i_x, i_y)$ = arithmetisches Mittel der vier nächsten Nachbarn.

$\varphi(i_x, i_y) = V_0(i_x, i_y)$ auf dem Rand $\partial\Omega$

Schritt c): benutze die Typewriter-Indizierung $1 \leq j \leq N = N_x N_y$
diskretisierte Laplace-Gleichung ist ein lineares Gleichungssystem

$$\Delta\varphi(\underbrace{i_x, i_y}_{\text{2D-Indizierung}}) = \Delta\varphi(i) = \underbrace{A}_{\text{Matrix}} \vec{\varphi}$$

mit der Matrix A

$$A = \begin{pmatrix} -4 & 1 & & \\ 1 & -4 & 1 & \\ & 1 & -4 & 1 \\ & & \ddots & \ddots \end{pmatrix} \quad \begin{array}{l} \text{in der Diagonalen -4} \\ \text{obere und untere Nebendiagonale +1} \quad (i_x + 1, i_y) \text{ und } (i_x - 1, i_y) \\ \text{2 weitere Diagonalen von 1} \quad (i_x, i_y + 1) \text{ und } (i_x, i_y - 1) \end{array}$$

$$\vec{b} = -\frac{1}{\varepsilon_0}\rho(i_x, i_y) = \begin{pmatrix} -1/\varepsilon_0\rho(1) \\ -1/\varepsilon_0\rho(2) \\ \vdots \end{pmatrix} \quad \begin{array}{l} + \text{Modifikation für Randpunkte} \\ -1/\varepsilon_0\rho \rightarrow V_0 \end{array}$$

$$\Delta\varphi = -\frac{1}{\varepsilon_0}\rho$$

$$A\varphi = b$$

So also transformierte die lineare PDE in ein lineares Gleichungssystem, und sie lebte glücklich und zufrieden bis an ihr Ende.

2.1.2 Lösung für lineare Gleichungssysteme

LU-Zerlegung (Gauß)

Schreibe die Matrix $A = LU$

$$L = \begin{pmatrix} 1 & 0 & 0 & 0 \\ & 1 & 0 & 0 \\ & & 1 & 0 \\ & & & 1 \end{pmatrix} \quad \begin{array}{l} \text{untere Dreiecksmatrix} \\ \frac{N(N-1)}{2} \text{ unbekannte Einträge} \end{array}$$

$$U = \begin{pmatrix} 0 & & & \\ 0 & 0 & & \\ 0 & 0 & 0 & \\ 0 & 0 & 0 & 0 \end{pmatrix} \quad \begin{array}{l} \text{obere Dreiecksmatrix} \\ \frac{N(N+1)}{2} \text{ unbekannte Einträge} \end{array}$$

Doolittle-Algorithmus

$$A = LU$$

$$a_{ij} = \sum_{p=1}^N l_{ip} u_{pj} = \sum_{p=1}^{\min(i,j)} l_{ip} u_{pj}$$

$$\begin{aligned}
i=1 \quad & a_{1j} = l_{11}u_{1j} \\
& u_{1j} = a_{1j} \quad \text{weil } l_{11} = 1 \\
i=2 \quad & a_{2j} = l_{21}u_{1j} + l_{22}u_{2j} \\
& u_{2j} = a_{2j} - l_{21}u_{1j} \\
i=3 \quad & a_{3j} = l_{31}u_{1j} + l_{32}u_{2j} + l_{33}u_{3j} \\
& u_{3j} = a_{3j} - l_{31}u_{1j} - l_{32}u_{2j}
\end{aligned}$$

$$\begin{aligned}
j=1 \quad & a_{i1} = l_{i1}U_{11} \quad l_{i1} = \frac{a_{i1}}{u_{11}} \\
j=2 \quad & a_{i2} = l_{i1}U_{12} + l_{i2}U_{22} \dots
\end{aligned}$$

Ordnung $N^2 \times N$ (N = Anzahl der Argumente)

Vorwärtssubstitution $c = L^{-1}b$

$$\begin{aligned}
c_1 = \frac{b_1}{l_{11}} \quad \text{und} \quad c_i = \frac{1}{l_{ii}} \left(b_i - \sum_{j=1}^{i-1} l_{ij}c_j \right) \quad i = 1, \dots, N \quad \text{aufsteigend} \\
LC = \begin{pmatrix} 1 & \dots & 0 \\ & \ddots & \\ & & 1 \end{pmatrix} \cdot \begin{pmatrix} c_1 \\ \vdots \\ c_N \end{pmatrix} = \begin{pmatrix} c_1 \\ l_{21}c_1 + c_2 \\ \vdots \end{pmatrix} = \begin{pmatrix} b_1 \\ \vdots \\ b_N \end{pmatrix}
\end{aligned}$$

Rücksubstitution $U\varphi = c$

$i = 1, \dots, N$ absteigend

$$\varphi_n = \frac{c_n}{U_{nn}} \quad \varphi_i = \frac{1}{U_{ii}} \left(c_i - \sum_{j=i+1}^N U_{ij}\varphi_j \right)$$

\Rightarrow LU ($\mathcal{O}(N^2)$) + Vorwärts ($\mathcal{O}(N^2)$) + Rückwärts ($\mathcal{O}(N^2)$) = Lösung $\mathcal{O}(N^3)$

2.1.2.1 Iterative Lösungen

Problem: $A\varphi = b$

Idee: zerlege $A = B + (A - B)$ wobei B „einfach“ invertiert werden kann.

$$\begin{aligned}
B\varphi &= b - (A - B)\varphi \\
\varphi &= B^{-1}(b - [A - B]\varphi)
\end{aligned}$$

Iterationsverfahren: φ ist Fixpunkt der Abbildung

n-ter Iterationsschritt

$$\begin{aligned}
\varphi^n &= B^{-1}(b - (A - B)\varphi^{(n-1)}) \\
&= B^{-1}b + \underbrace{[1 - B^{-1}A]}_{=:Q} \varphi^{(n-1)}
\end{aligned}$$

Ohne Beweis: Iterationsverfahren konvergiert falls $\|Q\| < 1$.

Jacobi-Verfahren : $B = D = \text{diag } A$

$$B^{-1} = \begin{pmatrix} \frac{1}{a_{11}} & & & \\ & \frac{1}{a_{22}} & & \\ & & \frac{1}{a_{33}} & \\ & & & \ddots \end{pmatrix}$$

komponENTENweise:

$$\varphi_i^{(n)} = \frac{1}{a_{ii}} \left(b_i - \sum_{j=1, j \neq i}^M a_{ij} \varphi_j^{(n-1)} \right)$$

Gesamtschrittverfahren - auf der rechten Seite sind nur alte Werte

Gauß-Seidel Verfahren Einzelschritt – verwende die neuen Werte wo vorhanden

$$\varphi_i^{(n)} = \frac{1}{a_{ii}} \left(b_i - \sum_{j=1}^{i-1} a_{ij} \varphi_j^{(n)} - \sum_{j=i+1}^N a_{ij} \varphi_j^{(n-1)} \right)$$

Anwendung auf Poissongleichung

$$\underbrace{\frac{1}{h^2} [\varphi(i_x + 1, i_y) + \varphi(i_x - 1, i_y) + \varphi(i_x, i_y + 1) + \varphi(i_x, i_y - 1)]}_{A-B} - \underbrace{\frac{4}{h^2} \varphi(i_x, i_y)}_{\text{diag } B} = \underbrace{\frac{-1}{\varepsilon_0} \rho(i_x, i_y)}_b$$

Jacobi-Verfahren

$$\varphi^{(n)}(i_x, i_y) = \frac{1}{4} \left(\frac{h^2}{\varepsilon_0} \rho(i_x, i_y) + \left[\varphi^{(n-1)}(i_x + 1, i_y) + \varphi^{(n-1)}(i_x - 1, i_y) + \varphi^{(n-1)}(i_x, i_y + 1) + \varphi^{(n-1)}(i_x, i_y - 1) \right] \right)$$

im Inneren von Ω .

Relaxationsverfahren

$$\begin{aligned} \varphi^{(n)} &= B^{-1}b + (\infty - B^{-1}A)\varphi^{n-1} \\ &= \varphi^{(n-1)} + B^{-1}(b - A\varphi^{(n-1)}) \end{aligned}$$

$$\Delta\varphi^{(n)} = \varphi^{(n)} - \varphi^{(n-1)} = B^{-1}(b - A\varphi^{(n-1)})$$

Änderung von φ im n-ten Iterationsschritt auch

$$\begin{aligned} \varphi^n &= \varphi^{n-1} + \alpha \Delta\varphi^n & \alpha = 1 & \text{Jacobi-/Gauß-Seidel-Verfahren} \\ & & \alpha < 1 & \text{Unterrelaxation} \\ & & \alpha > 1 & \text{Überrelaxation} \\ & & \alpha \geq 2 & \text{divergent} \end{aligned}$$

es gibt ein optimales $\alpha < 2$ so dass die Überrelaxation am schnellsten konvergiert.

$$\alpha_{\text{opt}} \approx 2 - \frac{c}{n} \quad \begin{aligned} c &= \text{const} \\ n &= \text{Dimension der Matrix} \end{aligned}$$

Beispiel: Gauß-Seidel mit Überrelaxation (SOR - sequential overrelaxation)

a) berechne nach Gauß-Seidel

$$\varphi_i^* = \frac{1}{a_{ii}} \left(b_i - \sum_{j=1}^{i-1} a_{ij} \varphi_j^* - \sum_{j=i+1}^N a_{ij} \varphi_j^{(n-1)} \right)$$

b) SOR

$$\varphi_i^{(n)} = \varphi_i^{n-1} + \alpha(\varphi_i^* - \varphi_i^{(n-1)}) = (1 - \alpha)\varphi_i^{(n-1)} + \alpha\varphi_i^*$$

Abbruchkriterium:

- (i) Residuum $r^{(n)} = \|A\varphi - b\| < \varepsilon$
- (ii) Anzahl der Schritte/Iterationen ($\mathcal{O}(n)$)

2.1.3 Praktische Implementation für die Poissongleichung

$$\text{2D-Beispiel} \quad \Delta\varphi = -\frac{1}{\varepsilon_0}\rho(x), \quad \vec{x} \in \Omega \subset \mathbb{R}^2$$

$$\text{Randbedingung} \quad \varphi(x) = \varphi_0, x \in \partial\Omega$$

Hier: $\Omega = \{(x, y) | -\frac{L}{2} \leq x, y \leq \frac{L}{2}\}$ und $\varphi_0 = 0$. zu a) iterative Lösung: nur eine Inhomogenität $b = 1/\varepsilon_0\rho$ und A ist dünn besetzt.

SOR mit Gauß-Seidel

h räumliche Diskretisierung
 $i_x, i_y = 0 \dots N$ ($N + 1$ Stützstellen in jede Raumrichtung)
 $h = \Delta x = \frac{L}{N}$

$$\frac{1}{h^2} [\varphi(i_x + 1, i_y) + \varphi(i_x - 1, i_y) + \varphi(i_x, i_y + 1) + \varphi(i_x, i_y - 1)] - \frac{4}{h^2} \varphi(i_x, i_y) = -\frac{1}{\varepsilon_0} \rho(i_x, i_y)$$

a) Gauß-Seidel Verfahren

$$\begin{cases} \varphi^{(n)}(i_x, i_y) &= \frac{1}{4} \left(\frac{h^2}{\varepsilon_0} \rho(i_x, i_y) + [\varphi^{(n)}(i_x + 1, i_y) + \varphi^{(n)}(i_x - 1, i_y) + \varphi^{(n)}(i_x, i_y + 1) + \varphi^{(n)}(i_x, i_y - 1)] \right) \\ &\text{mit } n \rightarrow n - 1 \text{ falls noch nicht vorhanden} \\ \varphi^*(i_x, i_y) &= \dots \end{cases}$$

b) SOR

$$\begin{cases} \varphi(i_x, i_y) &= (1 - \alpha)\varphi(i_x, i_y) + \alpha\varphi^*(i_x, i_y) \\ &\text{optimiere } \alpha \end{cases}$$

Verifikation

a) Vergleich mit näherungsweise analytischer Lösung

$$\varphi(r) = -\frac{1}{2\pi\varepsilon_0} \ln r + \text{const} \quad \text{elektr. Potential einer 2D-Punktladung}$$

Spiegelladungsmethode ab erste Näherung für $d \ll L$

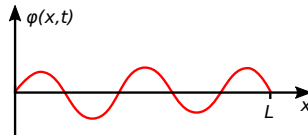
b) Gaußscher Satz

$$\vec{E} = -\Delta\varphi \quad \Delta\vec{E} = \frac{\rho}{\varepsilon_0} \quad \int d\vec{A} \cdot \vec{E} = \frac{1}{\varepsilon_0} \times \text{eingeschlossene Ladung}$$

2.2 Wellengleichung

$$\frac{\partial^2 \varphi}{\partial t^2} = u^2 \Delta \varphi \quad u \text{ Ausbreitungsgeschwindigkeit}$$

$$t \geq 0 \quad 0 \leq x \leq L$$



2.2.1 Anfangs- und Randbedingungen

Anfang:

$$\varphi(x, t=0) = \varphi_0(x)$$

$$\frac{\partial \varphi}{\partial t}(x, t=0) = \varphi'(x) \quad \text{für } 0 \leq x \leq L \text{ und } t = t_0 = 0$$

Rand:

- (i) Dirichlet-Randbedingung
 φ -Werte am Rand gegeben, d.h. $\varphi(x=0, t) = \varphi_0(t)$ und $\varphi(x=L, t) = \varphi_L(t)$
- (ii) Neumann-Randbedingung $\frac{\partial \varphi}{\partial x}$ am Rand gegeben. häufig $\frac{\partial \varphi}{\partial x} = 0$ am Rand $x=0, L, t \geq 0$
- (iii) Periodische Randbedingungen $\varphi(0, t) = \varphi(L, t)$
- (iv) speziell für Wellengleichung allgemeine Lösung $\varphi(x, t) = f(x \pm ut)$
keine Reflexion/Abgang

2.2.2 Diskretisierung und Stabilitätsanalyse

$$x_i = i\Delta x$$

$$t_n = n\Delta t$$

$$\frac{\partial^2 \varphi}{\partial t^2} \longrightarrow \frac{\varphi(x_i, t_{n+1}) - 2\varphi(x_i, t_n) + \varphi(x_i, t_{n-1}))}{\Delta t^2}$$

$$\frac{\partial^2 \varphi}{\partial x^2} \longrightarrow \frac{\varphi(x_{i+1}, t_n) - 2\varphi(x_i, t_n) + \varphi(x_{i-1}, t_n))}{\Delta x^2}$$

Einsetzen in die PDE und Auflösen nach $\varphi(x_i, t_{n+1})$

$$\varphi(x_i, t_{n+1}) = 2(1 - \beta^2)\varphi(x_i, t_n) - \varphi(x_i, t_{n-1}) + \beta^2 \{\varphi(x_{i+1}, t_n) + \varphi(x_{i-1}, t_n)\}$$

mit $\beta = \frac{u\Delta t}{\Delta x}$ Courant-Friedrichs-Lewy-Parameter (dimensionslos)

Anfangs- und Randbedingungen

Anfangsbedingung: $\varphi(x_i, t_0)$, $\varphi(x_i, t_{-1})$
 Randbedingung: $i = 0, \dots, I$ mit $I = \frac{L}{\Delta x}$

(a) Dirichletsche RB: $\varphi(x_0, t_n)$ und $\varphi(x_I, t_n)$ gegeben $\forall t_n$

(b) Neumannsche RB:

$$\begin{aligned}\varphi(x_0, t_n) &= \varphi(x_1, t_n) \\ \varphi(x_I, t_n) &= \varphi(x_{I-1}, t_n)\end{aligned}$$

gegeben $\forall t_n$

(c) periodische RB:

$$\begin{aligned}\varphi(x_{-1}, t_n) &= \varphi(x_N, t_n) \\ \varphi(x_{N+1}, t_n) &= \varphi(x_0, t_n)\end{aligned}$$

(d) Abgang rechts

$$\begin{aligned}\frac{\partial \varphi}{\partial t} \Big|_{\text{rechts}} &= -u \frac{\partial \varphi}{\partial x} \Big|_{\text{rechts}} \\ \frac{\varphi(x_N, t_{n+1}) - \varphi(x_N, t_n)}{\Delta t} &= -u \frac{\varphi(x_N, t_n) - \varphi(x_{N-1}, t_n)}{\Delta x}\end{aligned}$$

Daraus erhält man durch Umstellen

$$\varphi(x_N, t_{n+1}) = \varphi(x_N, t_n) - \beta \{ \varphi(x_N, t_n) - \varphi(x_{N-1}, t_n) \}$$

2.2.2.1 Stabilitätsanalyse

Fourierzerlegung der allgemeinen Lösung in ebene Wellen

$$\begin{aligned}\varphi(x, t) &= e^{i(kx - \omega t)} \quad \text{mit } u = \frac{\omega}{k} \\ \varphi(x, t + \Delta t) &= e^{i(kx - \omega[t + \Delta t])} = \varphi(x, t) \underbrace{e^{-i\omega \Delta t}}_{G \text{ gain}}\end{aligned}$$

Forderung $|G| = 1$

Frage: Was ist der Verstärkungsfaktor (gain) für diese Gleichung?

$$\begin{aligned}\varphi(x_i, t_{n+1}) &= e^{i k x_i - i \omega [t_n - \Delta t]} \\ &= 2(1 - \beta^2) e^{i k x_i - i \omega t_n} - e^{i k x_i - i \omega [t_n - \Delta t]} + \beta^2 \left\{ e^{i k [x_i + \Delta x] - i \omega t_n} + e^{i k [x_i - \Delta x] - i \omega t_n} \right\} \\ &= \varphi(x_i, t_n) G\end{aligned}$$

$$\begin{aligned}G &= 2(1 - \beta^2) - \frac{1}{G} + \beta^2 2 \cos k \Delta x = 2 - \frac{1}{G} - 4\beta^2 \sin^2 \frac{k \Delta x}{2} \\ G &= 1 - 2\beta^2 \sin^2 \alpha \pm \sqrt{(1 - 2\beta^2 \sin^2 \alpha)^2 - 1}\end{aligned}$$

1. Fall $\beta < 1$

$$\begin{aligned}G &= 1 - 2\beta^2 \sin^2 \alpha \pm i \sqrt{1 - (1 - 2\beta^2 \sin^2 \alpha)^2} \\ |G| &= (\Re G)^2 + (\Im G)^2 = (1 - 2\beta^2 \sin^2 \alpha)^2 - [1 - (1 - 2\beta^2 \sin^2 \alpha)^2] = 1 \quad \forall \alpha\end{aligned}$$

2. Fall $\beta > 1$ $|G| \neq 1$ für mindestens ein α

\Rightarrow Stabilität für $\beta < 1$:

$$\beta = \frac{u\Delta t}{\Delta x} \quad \rightarrow \quad \Delta t^2 < \frac{\Delta x^2}{u^2}$$

Diffusionsgleichung: $\Delta t \lesssim \frac{\Delta x^2}{D}$

Kapitel 3

Zufallszahlen und Monte-Carlo Simulationen

3.1 Erzeugung von Pseudozufallszahlen

Gute Eigenschaften von Zufallszahlen

- a) Verteilung: Gleichverteilung auf dem Intervall $x \in [0, 1]$ bzw. $i \in [0, N]$. Andere Verteilungen (z.B. Gauß) können daraus konstruiert werden
- b) möglichst keine Korrelation von Zufallszahlen $P(x_i, x_j) = P(x_i), P(x_j)$ stat. unabhängig
insbesondere $\langle x_i, x_j \rangle = \langle x_i \rangle \langle x_j \rangle$
- c) lange Periode, d.h. die Sequenz von Zufallszahlen wiederholt sich nicht

... Vorhersagbarkeit, Schnelligkeit, Speichereffizienz ...

gesucht: Pseudozufallszahlen – deterministische Sequenz von Zahlen $\{x_i\}$ mit guten Eigenschaften durch einen arithmetischen Algorithmus.

3.1.1 Algorithmen

- (i) linearer kongruenter Zufallsgenerator
Rekursionsgleichung:

$$I_{n+1} = (a I_n + c) \mod m$$
$$x_n = \frac{I_n}{m}$$

→ maximale Periodenlänge: m

→ Güte hängt stark von den Parametern a , c und m ab

gut: $a = 48271$	$m = 2^{31} - 1$	$c = 0$
schlecht: $a = 65539$	$m = 2^{31}$	$c = 0$

- (ii) Schieberegister-Zufallsgenerator

$$I_n = I_{n-p} \widehat{\text{XOR}} I_{n-q} \quad \text{R250} \quad p = 250, \quad q = 147 (\text{Kirkpartit} / \text{Stoll 1981})$$

+ Periode 2^{249}

- benötigt 250 Zufallszahlen zum Starten

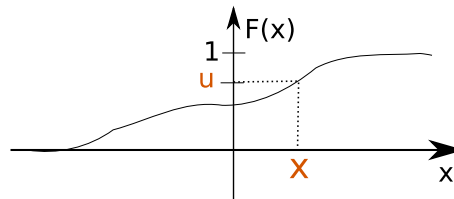
- gut aber $\langle x_n x_{n-1} x_{n-s} \rangle = \langle x_n \rangle \langle x_{n-1} \rangle \langle x_{n-s} \rangle = \frac{1}{8} = 0.125$

außer $r = 250 \quad s = 147 \Rightarrow \langle x_n x_{n-1} x_{n-s} \rangle = 0.107$

3.1.2 Erzeugen von Zufallszahlen mit einer beliebiger Verteilung

Ziel: generiere Zufallszahlen x mit einer Verteilung $P(x)$

Inversionsmethode



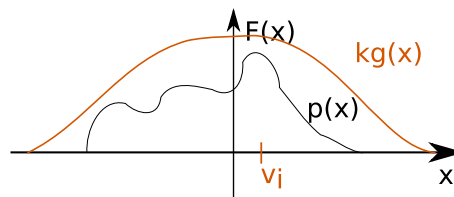
1. bestimme Stammfunktion (kumulative Verteilungsfunktion)

$$F(x) = \int_{-\infty}^x dx' P(x')$$

2. ziehe Zufallszahl u gleichverteilt in $[0, 1]$
3. $x = F^{-1}(u)$ ist gemäß $P(x)$ verteilt.

$$\text{Prob}(F^{-1}(u) \leq x) = \text{Prob}(u \leq F(x)) = F(x)$$

Rejection-Methode



1. Wähle eine Hilfsverteilung $g(x)$, welche erzeugt werden kann, mit $p(x) \leq k g(x) \quad \forall x$ und ein festes k .
2. Sei u_i gleichverteilt in $[0, 1]$ und v_i verteilt gemäß g
3. Akzeptiere $x = v_i$ falls $k u_i g(v_i) < P(v_i)$, ansonsten wiederhole ab 2.

Wahrscheinlichkeit, dass $x = v_i$ akzeptiert wird ist $\frac{P(x)}{k(g(x))}$.

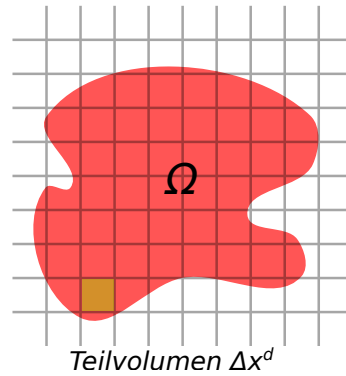


Abbildung 2.1: Aufteilung des Volumens in Gitterzellen

3.2 Monte-Carlo-Integration hochdimensionaler Integrale

Problem eines Gitterverfahrens in d Dimensionen

- Unterteile das Volumen in Gitterzellen
- berechne das Integral

$$I = \int_{\Omega} d^d x f(x) \approx \sum_{i=1}^N \Delta x^d f(x_i) \quad \begin{array}{l} x_i \text{ Stützstelle in dem Teilvolumen} \\ N \text{ Anzahl Gitterzellen in } \Omega \end{array}$$

$$\delta I \propto \Delta x^{n+1} \quad n = 0$$

Simpson Integration $n = 3$ ($d=1$)

$$I = \frac{\Delta x}{6} \left\{ f(x_0) + 2 \sum_{i=1}^{N-1} f\left(\frac{x_{i-1} + x_i}{2}\right) + f(x_N) \right\}$$

Problem: N fest $\rightarrow \Delta x \propto N^{-1/d} \rightarrow \delta I \propto N^{-\frac{n+1}{d}}$
in hohen Dimensionen $d \gg 1$ reduziert sich der Fehler $\delta I \sim N^{-\frac{n+1}{d}}$ nur sehr langsam nach n

Alternative: *Monte-Carlo-Integration*

$$I = \int_{\Omega} d^d x f(x) \approx \frac{V_{\Omega}}{N} \sum_{i=1}^N f(\xi_i) \quad \begin{array}{l} \xi_i \text{ sind zufällige Stütz-} \\ \text{stellen gleichverteilt in } \Omega \end{array}$$

$$= V_{\Omega} \langle f \rangle$$

$$\delta I \approx V_{\Omega} \sqrt{\frac{\langle f^2 \rangle - \langle f \rangle^2}{N}} \sim N^{-1/2} \quad \text{unabhängig von } d$$

\Rightarrow MC-Integration ist besser falls $\frac{1}{2} > \frac{n+1}{d} \rightarrow d = 2(n+1)$

3.2.1 MC-Simulationen in der stat. Physik

thermodynamischer Mittelwert: $\langle f \rangle = \frac{\int d^d x p(x) f(x)}{\int d^d x p(x)}$

kanonisches Ensemble: $p(x) = \frac{1}{Z} e^{-\frac{\mathcal{H}}{k_B T}}$

\mathcal{H} Energie/Hamiltonian
 k_B Boltzmann-Konstante
 T Temperatur
 Z Zustandssumme

$$\langle f \rangle = \frac{\int d^d x e^{-\frac{\mathcal{H}}{k_B T}} f(x)}{\int d^d x e^{-\frac{\mathcal{H}}{k_B T}}}$$

$x = (r, p)$ Phasenraum $6N$ -dim
 $x = r$ Konfigurationsraum $3N$ -dim

Probleme

- 1) hochdimensionales Integral \rightarrow MC-Integration
- 2) Normierung Z ist unbekannt
- 3) $p(x)$ variiert stark weil $H \propto N$ (extensiv)

Beispiel Lennard-Jones-Kugel gleichverteilt im Simulationsvolumen V
 \rightarrow häufiger Überlapp \rightarrow hohe Energie \rightarrow verschwindend kleines p

Eine Lösung des Problems bietet das *Importance Sampling*. Konstruiere zur Integration eine Folge von Zuständen x_i , $i = 0, 1, 2, \dots$, welche der Verteilung $p(x)$ genügen

$$\langle f \rangle = \frac{\int d^d x p(x) f(x)}{\int d^d x p(x)} \approx \frac{1}{N} \sum_{i=1}^N f(x_i) = \langle f \rangle_p$$

durch Verwendung des *Markov-Prozesses*. Es gilt also für x_i die Markov-Eigenschaft

$$P_k(x_k | x_{k-1}, x_{k-2}, \dots, x_0) = P_k(x_k | x_{k-1})$$

wobei P_k die Wahrscheinlichkeit ist, im k -Schritt bei x_k zu sein unter der Voraussetzung zuvor im $x_{k-1}, x_{k-2}, \dots, x_0$ ist. Zur Bestimmung von P_k genügt es also, den Zustand x_{k-1} zu kennen, es gibt keine direkte Abhängigkeit von x_{k-2}, x_{k-3}, \dots .

stationärer Markov-Prozess

$$\begin{aligned}
 P_k(x_k | x_{k-1}) & \text{ Wahrscheinlichkeit im } k\text{-ten Schritt } x_{k-1} \rightarrow x_k \\
 & = p(x_k | x_{k-1}) \\
 & = T(k_{k-1} \rightarrow x_k) \quad \text{Übergangswahrscheinlichkeit}
 \end{aligned}$$

Normierung: $\sum_y R(x \rightarrow y) = 1$

mit Wahrscheinlichkeit 1 springt die Folge aus x zu irgendeinem y .

Zustände diskret: x ist ein Index

$$T(x \rightarrow y) = T_{xy} \text{ Matrix}$$

$$T(x \rightarrow y) \vec{1} = \vec{1}$$

$\vec{1}$ ist rechter Eigenvektor zum Eigenwert 1

diskrete Mastergleichung: Bilanzgleichung für die Wahrscheinlichkeit $P_k(x)$

$$P_k(x) = \sum_y P_{k-1}(y) T(y \rightarrow x)$$

$$P_{k-1}(x) = \underbrace{\sum_y T(x \rightarrow y) P_{k-1}(x)}_{=1}$$

$$\Delta_k P(x) = P_k(x) - P_{k-1}(x) = \sum_y \left(\underbrace{P_{k-1}(y) T(y \rightarrow x)}_{\text{Sprünge in den Zustand x aus y}} - \underbrace{P_{k-1}(x) T(x \rightarrow y)}_{\text{Sprünge aus x in den Zustand y}} \right)$$

stationäre Verteilung p_{eq} Gleichgewicht/Equilibrium ist nicht von dem Schritt k abhängig.

$$\Delta_k P(x) = 0$$

Bedingung: $\sum_y (p_{eq}(y) T(y \rightarrow x) - p_{eq}(x) T(x \rightarrow y)) = 0$

für Übergangswahrscheinlichkeit $T(x \rightarrow y)$.

$$p_{eq} = \sum_y p_{eq}(y) T(y \rightarrow x)$$

$$p_{eq} = \sum_y p_{y,eq} T_{yx}$$

$$p_{eq} = p_{eq} \vec{1}$$

$\Rightarrow p_{eq}$ ist der linke Eigenvektor von T mit Eigenwert 1
hinreichende Bedingung: detailed balance

$$p_{eq}(y) T(y \rightarrow x) = p_{eq}(x) T(x \rightarrow y)$$

Frage: Wie konstruiere ich $T(x \rightarrow y)$

3.2.1.1 Metropolis-Algorithmus

$$T(x \rightarrow y) = \Pi(x \rightarrow y) \omega(x \rightarrow y)$$

$\Pi(x \rightarrow y)$ Wahrscheinlichkeit, dass man vorschlägt, von x nach y zu gehen.
 $\omega(x \rightarrow y)$ Wahrscheinlichkeit, dass man den Vorschlag annimmt

Wähle nun für ω

$$\omega(x \rightarrow y) = \text{metrop} \left(\frac{p_{eq}(y) \Pi(y \rightarrow x)}{p_{eq}(x) \Pi(x \rightarrow y)} \right)$$

mit $\text{metrop}(x) = \min(1, x)$ und $x = \frac{\text{metrop}(1)}{\text{metrop}(1/x)}$

$$\begin{aligned}
P_{eq}(x)T(x \rightarrow y) &= P_{eq}(y)\pi(y \rightarrow x) \text{metrop} \left(\frac{P_{eq}(x)\pi(x \rightarrow y)}{P_{eq}(y)\pi(y \rightarrow x)} \right) \\
&\stackrel{!}{=} P_{eq}(x)\pi(x \rightarrow y) \underbrace{\text{metrop} \left(\frac{P_{eq}(y)\pi(y \rightarrow x)}{P_{eq}(x)\pi(x \rightarrow y)} \right)}_{\xi} \\
\frac{P_{eq}(y)\pi(y \rightarrow x)}{P_{eq}(x)\pi(x \rightarrow y)} &= \frac{\text{metrop}(\xi)}{\text{metrop}(1/\xi)} = \xi
\end{aligned}$$

Beispiel System von N wechselwirkenden Teilchen im Volumen V bei Temperatur T
(periodische Randbedingung: minimum image convention)

i) zufällige Verschiebung

- 1) wähle zufällig ein Teilchen i $p_1(i) = \frac{1}{N}$
- 2) Wähle den Verschiebungsvektor $\vec{\Delta r}$ zufällig aus einem Volumen welches symmetrisch zum Ursprung ist: $p_2(\vec{\Delta r}) = p_2(\vec{\Delta r})$
z.B. Würfel $[-\frac{\Delta L}{2}, \frac{\Delta L}{2}]^D$ $p_2(\vec{\Delta r}) = \frac{1}{\Delta L^D}$
 \Rightarrow Vorschlagswahrscheinlichkeit

$$\pi(\vec{r}_i \rightarrow \vec{r}_i' = \vec{r}_i + \vec{\Delta r}) = \frac{1}{N \Delta L^D}$$

Vorschlagswahrscheinlichkeit für den inversen Move.

$$\pi(\vec{r}_i' = \vec{r}_i + \vec{\Delta r} \rightarrow \vec{r}_i) = \frac{1}{N \Delta L^D}$$

3) Akzeptiere den Move mit

$$\begin{aligned}
\omega(\vec{r}_i \rightarrow \vec{r}_i') &= \text{metrop} \left[\frac{p_{eq}(\{\vec{r}_i'\})\pi(\vec{r}_i' \rightarrow \vec{r}_i)}{p_{eq}(\{\vec{r}_i\})\pi(\vec{r}_i \rightarrow \vec{r}_i')} \right] = \text{metrop} \left[\exp \left(-\frac{\mathcal{H}(\{\vec{r}_i'\}) - \mathcal{H}(\{\vec{r}_i\})}{kT} \right) \right] \\
&= \text{metrop} \left[\exp \left(-\frac{\Delta \mathcal{H}}{kT} \right) \right]
\end{aligned}$$

Optimiere ΔL :

- a) je größer ΔL desto schneller dekorreliert man die Sequenz einer Konfiguration
- b) bei großem ΔL ist $p_{eq}(\{\vec{r}'\})$ häufig klein (d.h. die neue Konfiguration hat z.B. einen Überlapp zwischen Teilchen) \rightarrow kleine Akzeptanzrate

betrachte die diskrete Trajektorie eines Teilchens i

$$\begin{aligned}
\vec{r}_i(t_0) &\longrightarrow \vec{r}_i(t_0 + 1) \longrightarrow \dots \longrightarrow \vec{r}_i(t_0 + t) \\
\vec{r}_i(t_0 + t) &= \vec{r}_i + \sum_{t'=1}^t \Delta \vec{r}_i(t') \text{ mit } \Delta \vec{r}_i(t) = \begin{cases} \vec{\Delta r}_i & \text{falls im } t \text{ Schritt das Teilchen} \\ & i \text{ ausgewählt und der MC Move ak-} \\ & \text{zeptiert} \\ 0 & \text{sonst} \end{cases}
\end{aligned}$$

zusätzliche Annahmen:

- stationär: im Gleichgewicht d.h. wenn $p(\{r\})$ gegen $p_{eq}(\{r\})$ konvergiert ist, dann hängt die Verteilung von $\delta \vec{r}_i(t) = \vec{r}_i(t_0 + t) - \vec{r}_i(t_0)$ nicht von t_0 ab

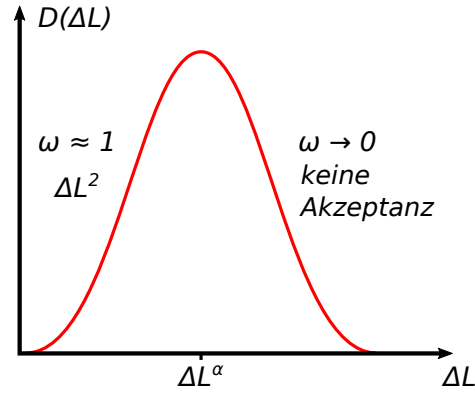


Abbildung 2.2

- Es gibt keinen makroskopischen Teilchenfluss $\langle \delta \vec{r}_i(t) \rangle = 0$ und $\langle \Delta \tilde{r}_i(t) \rangle = 0$
- für große Zeitdifferenzen t sind die akzeptierten Verschiebungen unkorreliert

⇒ Ansatz für die Autokorrelationskoeffizienten

$$C(t) = \langle \Delta \tilde{r}_i(t_0 + t) \Delta \tilde{r}_i(t_0) \rangle - \underbrace{\langle \Delta \tilde{r}_i(t_0 + t) \rangle}_{=0} \underbrace{\langle \Delta \tilde{r}_i(t_0) \rangle}_{=0} = A e^{-t/\tau}$$

$$C(t) \rightarrow 0 \quad \text{für } t \rightarrow \infty \text{ und } t \gg \tau$$

$$\langle \delta \vec{r}_i(t) \rangle = 0 \quad \text{kein Drift}$$

$$\begin{aligned} \langle \delta^2 \vec{r}_i(t) \rangle &= \left\langle \sum_{t'=1}^t \Delta \tilde{r}_i(t') \sum_{t''=1}^t \Delta \tilde{r}_i(t'') \right\rangle = \sum_{t'=1}^t \sum_{t''=1}^t \langle \Delta \tilde{r}_i(t') \Delta \tilde{r}_i(t'') \rangle = \sum_{t'=1}^t \sum_{t''=1}^t C(t' - t'') \\ &= \int dt' \int dt'' C(t' - t'') = \int_0^t dt_0 \int_{-t_0}^{t-t_0} d\Delta t C(\Delta t) \approx \int_0^t dt_0 \int_{-\infty}^{\infty} d\Delta t C(\Delta t) \\ &\quad \left\{ \begin{array}{l} \downarrow t \gg 1 \\ \downarrow t \gg \tau \end{array} \right. \\ &= 2t \int_0^{\infty} d\Delta t C(\Delta t) = 2Dt \end{aligned}$$

Optimiere ΔL so dass die Verschiebung groß bzw. Diffusion schnell, mean square displacement, mittleres quadratische Verschiebung

$$\langle \delta^2 \vec{r}_i(t) \rangle = 2D(\Delta L)t \longrightarrow \text{maximal} \quad t \text{ fest als Funktion von } \Delta L$$

ii) force-bias Monte Carlo

Idee: benutze die Kraft \vec{F}_i auf Teilchen i um einen guten Vorschlag zu machen

- 1) Wähle ein Teilchen zufällig $p_1(i) = \frac{1}{N}$
- 2) Wähle Verschiebungsvorschlag:

$$\Delta \vec{r}_i(t) = \underbrace{\vec{F}_i(t) \Delta A}_{\rightarrow \text{bias in Richtung der Kraft}} + \underbrace{\Delta \vec{R}}_{\rightarrow \text{zufälliger Anteil der Verschiebung}}$$

Wähle $\Delta \vec{R}$ Gauß'sch verteilt

$$p_2(\Delta \vec{R}) = \left(\frac{1}{4\pi kT \Delta A} \right)^{\frac{3}{2}} \exp \left(-\frac{\Delta \vec{R}^2}{4\pi \Delta A} \right)$$

$$\langle \Delta R_\alpha^2 \rangle = 2kT \Delta A$$

Vorschlagswahrscheinlichkeit:

$$\pi(\vec{r}_i \rightarrow \vec{r}_i' = \vec{r}_i + \Delta \vec{r}_i) = \frac{1}{N} \frac{1}{(4\pi kT \Delta A)^{\frac{3}{2}}} \exp \left(-\frac{(\vec{r}_i' - \vec{r}_i - \vec{F}_i \Delta A)^2}{4kT \Delta A} \right)$$

Vorschlagswahrscheinlichkeit für inversen Move

$$\pi(\vec{r}_i' \rightarrow \vec{r}_i) = \frac{1}{N} \frac{1}{(4\pi kT \Delta A)^{\frac{3}{2}}} \exp \left(-\frac{(\vec{r}_i - \vec{r}_i' - \vec{F}_i' \Delta A)^2}{4kT \Delta A} \right)$$

detailed balance

$$\begin{aligned} \frac{\omega(\vec{r}_i \rightarrow \vec{r}_i')}{\omega(\vec{r}_i' \rightarrow \vec{r}_i)} &= \frac{p_{eq}(\vec{r}_i') \pi(\vec{r}_i' \rightarrow \vec{r}_i)}{p_{eq}(\vec{r}_i) \pi(\vec{r}_i \rightarrow \vec{r}_i')} = \exp \left(\frac{\Delta \mathcal{H}}{kT} \right) \frac{\exp \left(-\frac{(\vec{r}_i' - \vec{r}_i - \vec{F}_i \Delta A)^2}{4kT \Delta A} \right)}{\exp \left(-\frac{(\vec{r}_i - \vec{r}_i' - \vec{F}_i' \Delta A)^2}{4kT \Delta A} \right)} \\ &= \exp \left(-\frac{\Delta \mathcal{H}}{kT} - \frac{(\vec{F}_i' + \vec{F}_i)(\vec{r}_i' - \vec{r}_i)}{2kT} \right) \times \exp \left(-\frac{\Delta A}{4kT} (\vec{F}_i'^2 - \vec{F}_i^2) \right) \\ \omega(\vec{r} \rightarrow \vec{r}') &= \text{metrop} \left\{ \exp \left(-\frac{1}{kt} \left[\Delta \mathcal{H} + \frac{\vec{F}_i' + \vec{F}_i}{2} (\vec{r}' - \vec{r}) + \frac{\Delta A}{4kT} (\vec{F}_i'^2 - \vec{F}_i^2) \right] \right) \right\} \\ \Delta \mathcal{H} &= \mathcal{H}(\vec{r}') - \mathcal{H}(\vec{r}) \approx \mathcal{H}(\vec{r}) + \frac{\partial \mathcal{H}}{\partial \vec{r}} (\vec{r}' - \vec{r}) + \mathcal{O}(\Delta r^2) - \mathcal{H}(\vec{r}) \\ &= -\vec{F}(\vec{r}' - \vec{r}) = -\frac{\vec{F}(\vec{r}) + \vec{F}(\vec{r}')}{2} (\vec{r}' - \vec{r}) \end{aligned}$$

- Argument der Exponentialfunktion variiert wenig als bei zufälliger Verschiebung
- höhere Akzeptanz bei gleichen $\langle \Delta R^2 \rangle$
- schnellere Dekorrelation der Konfiguration

3.2.2 Ising-Modell

Ernst Ising 2. Phys. 31,253 (1925)

Idee: uniaxialer Magnet

- Spins sitzen auf einem Gitter und einer Achse, in die das magnetische Moment bevorzugt zeigen kann.
- skalare Variable $s_i = \pm 1$ am Gitterplatz i .

$$\mathcal{H} = -J \sum_{\langle ij \rangle} s_i s_j$$

\downarrow Summe über alle Paare
 nächster Nachbarn
 \downarrow Stärke der paarweisen WW

Boltzmann Gewicht

$$p_{eq}(\{s_i\}) = \frac{1}{Z} e^{-\frac{\mathcal{H}}{kT}} = \frac{1}{Z} \exp \left(\frac{J}{kT} \sum_{\langle i,j \rangle} s_i s_j \right)$$

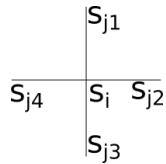
$$\sum_{\{s_i\}} p_{eq}(\{s_i\}) = 1 \rightarrow Z(T, N) = \sum_{\{s_i\}} \exp \left(-\frac{\mathcal{H}}{kT}(\{s_i\}) \right)$$

Single-Spin-Flip-Algorithmus

$$\omega(s_i \rightarrow -s_i) = \text{metrop} \left(\exp \left(\frac{\Delta \mathcal{H}}{kT} \right) \right)$$

$$\Delta \mathcal{H} = \mathcal{H}(-s_i) - \mathcal{H}(s_i)$$

Im 2D-Quadratgitter berechnet sich die Energiedifferenz leichter aus den nächsten Nachbarn $\Delta \mathcal{H} = 2J(s_{j1} + s_{j2} + s_{j3} + s_{j4})$.



Kann man den Spin auch deterministisch auswählen?

- a) Schreibmaschinenart
- b) Schachbrettmuster

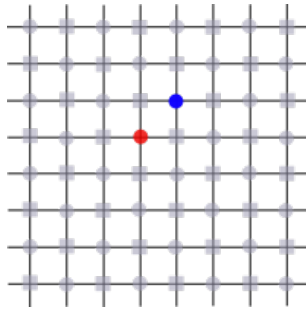


Abbildung 2.3: Können gleichzeitig geflippt werden, weil sie nicht miteinander wechselwirken

Aussage:

- a) erfüllt nicht detailed balance, da der Schritt nicht sofort in einen Single-Spin-Flip umgekehrt werden kann
- b) Stationarität der Mastergleichung

$$\sum_{\{s_i\}} p_{eq}(\{s_i\}) T(\{s_i\} \rightarrow \{s'_i\}) = p_{eq}(\{s'_i\})$$

\downarrow alte Wahrscheinlichkeitsverteilung
 \downarrow neue Wahrscheinlichkeitsverteilung

Für eine feste, konfigurationsunabhängige Permutation $i(1), i(2) \dots i(N)$ von $1 \dots N$ ist

$$T = T_{i(1)} T_{i(2)} \dots T_{i(N)}$$

Single-Spin-Flip erfüllt detailed balance

$$\begin{aligned} T_{i(1)} &= T(s_{i(1)} \rightarrow s_{i(1)}^?) \quad \text{hat als festen Eigenvektor } p_{eq} \\ p_{eq} T_{i(1)} &= p_{eq} \\ \Rightarrow p_{eq} T &= \underbrace{p_{eq} T_{i(1)}}_{p_{eq}} T_{i(2)} \dots T_{i(N)} = p_{eq} T_{i(2)} \dots T_{i(N)} = \dots = p_{eq} T_{i(N)} = p_{eq} \end{aligned}$$

Bei $\frac{J}{kT} \gg 1$ beobachtet man getrennte Domänen von + und - Spins.

Tieftemperaturverhalten $p_{eq}(\{s\}) = \frac{1}{Z} e^{-\frac{\mathcal{H}}{kT}}$

- $T \rightarrow 0$: nur Grundzustände, welche die Energie maximieren, haben ein signifikantes Gebiet. Es gibt zwei Grundzustände ($E_0 = -2JN$)

$$s_i = 1 \quad \forall i \quad \vee \quad s_i = -1 \quad \forall i \quad (2.1)$$

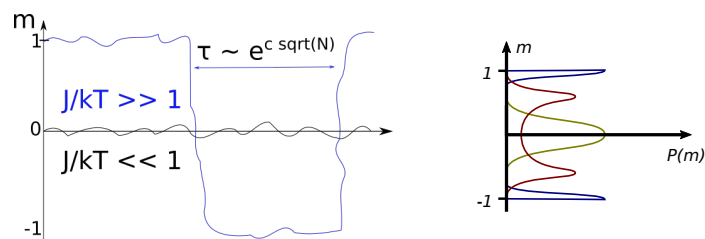
$2N$ 1. angeregte Zustände (1 Spin ausgeflippt, $E_1 = -2JN + 8J$)

Bemerkung: \mathcal{H} hat die Symmetrie $s_i \rightarrow -s_i \quad \forall i$
 aber Grundzustand hat diese Symmetrie nicht \rightarrow spontan gebrochen
 Observable:

1. Energie $\mathcal{H}(\{s\})$

2. Magnetisierung / Spin $m = \frac{1}{N} \sum_{i=1}^N s_i$

$$\text{L. Onsager} \Rightarrow \frac{J}{kT_{crit}} = \frac{1}{2} \ln(1 + \sqrt{2})$$



aufeinander folgende Konfigurationen sind nicht unabhängig.
 Statistische Fehler eines Mittelwerts

$$a = \frac{1}{T} \sum_{t=1}^T A_t$$

$\left. \begin{array}{l} \downarrow \\ \text{MC Schritt} \\ \text{Observable} \end{array} \right\}$

Erwartungswert des Stat. Fehlers

$$[\delta A^2] = \left[\frac{1}{T} \sum_{i=1}^N (A_t - [A]) \right]^2 \quad \begin{array}{l} [\dots] \text{ Mittelung über Realisierungen} \\ \text{(Runs mit unterschiedlichen Zufallszahlen)} \\ [A] = \langle A \rangle = \lim_{T \rightarrow \infty} \frac{1}{T} \sum_t A_t \end{array}$$

$$[\delta A^2] = \frac{1}{T} \sum_t (A_t - [A])^2 + \frac{2}{T^2} \sum_{t=1}^T \sum_{t' > t}^T [A_t A_{t'} - [A]^2]$$

$$[\delta A^2] = \frac{1}{T} \sum_t (A_t - [A])^2 + \frac{2}{T^2} \sum_{\Delta t=1}^T (T - \Delta t) \underbrace{[A_t A_{t+\Delta t} - [A]^2]}_{C(\Delta t)}$$

$C(\Delta t)$ ist die sogenannte Autokorrelationsfunktion, normierte Autokorrelationsfunktion

$$\begin{aligned} \varphi(\Delta t) &= \frac{C(\Delta t)}{C(0)} = \frac{[A_t A_{t+\Delta t} - [A]^2]}{[A^2] - [A]^2} \\ [\delta A^2] &= \frac{1}{T} ([A^2] - [A]^2) + \frac{Z}{T^2} \sum_{\Delta t=1}^T (T - \Delta t) ([A^2] - [A]^2) \varphi(\Delta t) \\ &= \frac{1}{T} ([A^2] - [A]^2) + \left\{ 1 + 2 \int_0^T d\Delta t \left(1 - \frac{\Delta t}{T} \right) \varphi(\Delta t) \right\} \\ &= \frac{1}{T} ([A^2] - [A]^2) (1 + 2\tau) = \frac{[A^2] - [A]^2}{T'} \quad \text{mit } T' = \frac{T}{1 + 2\tau} \approx \frac{T}{2\tau} \end{aligned}$$

3.2.3 Diffusions-Monte-Carlo

Fragestellung Wie findet man den Grundzustand eines quantenmechanischen Systems?
Hier: betrachten ein Teilchen in einem Potential stationärer Zustände:

$$\begin{aligned} \psi(r, t) &= \psi_0(r) e^{-\frac{i}{\hbar} E_0 t} \\ \int dx |\psi_0(r)|^2 &= 1 \quad \text{Normierung} \end{aligned}$$

speziell für Grundzustand ist $\psi(x)$ reell (Zeitumkehrinvarianz und nicht-entartet)
SGL:

Schrödingergleichung

$$i\hbar \frac{\partial}{\partial t} \psi = \tilde{\mathcal{H}} \psi = (\mathcal{H} - E_T) \psi \quad \text{mit} \quad \mathcal{H} = -\frac{\hbar^2}{2m} \Delta + V(x)$$

imaginäre Zeit

$$\tau = \frac{i}{\hbar} t \quad \Rightarrow \quad i\hbar \frac{\partial}{\partial t} = i\hbar \frac{d\tau}{dt} \frac{\partial}{\partial \tau} = -\frac{\partial}{\partial \tau}$$

$$\begin{aligned} \frac{\partial}{\partial \tau} \psi &= \left(-\frac{\hbar^2}{2m} \Delta + V - E_T \right) \psi \\ \psi(x, \tau) &\xrightarrow{\tau \rightarrow \infty} \mathcal{N} \psi_0(x) \end{aligned}$$

$$\begin{aligned}
\psi(x, \tau) &= \langle x | \psi(\tau) \rangle \langle x | e^{-\tilde{H}\tau} | \psi(0) \rangle = \sum_n \langle x | e^{-\tilde{H}\tau} | n \rangle \langle n | \psi(0) \rangle \\
&= \sum_n \underbrace{\langle x | n \rangle}_{\psi_n(x)} e^{-(E_n - E_T)\tau} \underbrace{\langle n | \psi(0) \rangle}_{c_n} = \sum_n c_n \psi_n(x) e^{-(E_n - E_T)\tau} \\
&= c_0 \psi_0(x) + \sum_{n=1}^{\infty} c_n \psi_n e^{\underbrace{-(E_n - E_0)\tau}_{>0}} \xrightarrow{\tau \rightarrow \infty} c_0 \psi_0
\end{aligned}$$

2) Zeitentwicklungsoperator

$$\mathcal{U}(\tau) = e^{-\tilde{H}\tau} = e^{+\mathcal{L}_1\tau - \mathcal{L}_2\tau}$$

$$\text{Kinetische Energie: } \mathcal{L}_1 = \frac{\hbar^2}{2m} \Delta = D \Delta \quad D = \frac{\hbar^2}{2m} \quad \text{Diffusionsprozess}$$

$$\text{Potentielle Energie: } \mathcal{L}_2 = -[V(x) - E_T]$$

Trotterzerlegung von $\mathcal{U}(\tau)$

$$\mathcal{U}(\tau) = e^{(\mathcal{L}_1 + \mathcal{L}_2)\tau} = \lim_{n \rightarrow \infty} \left(e^{\mathcal{L}_2 \frac{\tau}{n}} e^{\mathcal{L}_1 \frac{\tau}{n}} \right)^n$$

Fehler $\propto e^{[\mathcal{L}_1, \mathcal{L}_2] \frac{\tau^2}{2}}$

$$\mathcal{U}(\tau) = \underbrace{e^{\mathcal{L}_2 \Delta\tau} e^{\mathcal{L}_1 \Delta\tau} \times e^{\mathcal{L}_2 \Delta\tau} e^{\mathcal{L}_1 \Delta\tau} \dots}_{n \text{ mal}} \quad \Delta\tau = \frac{\tau}{n}$$

3) Fasse $\psi(x, \tau)$ als Wahrscheinlichkeitsverteilung auf (QM: $|\psi|^2$)

OK für Grundzustand

fasse $\mathcal{U}(\tau) = T_2 T_1 T_2 T_1$ als Übergangswahrscheinlichkeiten einer MC Simulation auf konstruiere den zugehörigen Markov-Prozess \rightarrow stationäre Lsg. $\psi_0(x)$.

a)

$$\begin{aligned}
\psi'(x) &= T_1 \psi(x) = e^{\mathcal{L}_1 \Delta\tau} \psi(x) = e^{D \nabla^2 \Delta\tau} \psi(x) \\
&= \int dy \underbrace{G(x, y)}_{\rightarrow \text{Green'sche Funktion}} \psi(y) = \int dy \langle x | e^{\mathcal{L}_1 \Delta\tau} | y \rangle \langle y | \psi \rangle
\end{aligned}$$

$$\begin{aligned}
\langle x | e^{D \tau \Delta} | y \rangle &= \int dk dk' \langle x | k \rangle \underbrace{\langle k | e^{D \tau \Delta} | k' \rangle}_{\delta_{k, k'}} \langle k' | y \rangle = \int dk \frac{1}{\sqrt{2\pi}} e^{ikx} e^{D \tau k^2} e^{iky} \\
&= \frac{1}{\sqrt{2\pi D \Delta\tau}} e^{-\frac{(x-y)^2}{2D \Delta\tau}}
\end{aligned}$$

T_1 = Faltung mit G

$$\psi(x) \approx \underbrace{\sum_{i=1}^N \delta(x - r_i)}_{\text{Wahrscheinlichkeitsverteilung von } N \text{ Teilchen}} \quad i = 1 \dots N \text{ Teilchen am Ort } r_i$$

$$\psi(x) = \sum_{i=1}^N \frac{1}{\sqrt{2\pi D \Delta\tau}} e^{-\frac{(x-r_i)^2}{2D \Delta\tau}} \approx \sum_{i=1}^N \delta(x - r_i) \left. \vphantom{\sum_{i=1}^N} \right\} \begin{array}{l} \langle (r_i - r'_i)^2 \rangle = D \Delta\tau \\ \vec{r}_i \longrightarrow \vec{r}_i' = \vec{r}_i + \vec{\Delta r}_i \end{array}$$

als Monte-Carlo-Schritt mit $P(\Delta\tau) = \frac{1}{\sqrt{2\pi D\Delta\tau}} e^{-\frac{\Delta r^2}{2D\Delta\tau}}$

b)

$$\psi''(x) = T_2 \psi'(x) = e^{\mathcal{L}_2 \Delta\tau} \psi'(x) = e^{-[V(x) - E_T] \Delta\tau} \psi'(x)$$

$$T_2 = \text{Multiplikatoren mit Wachstumsfaktor} \quad q = e^{-[V(x) - E_T] \Delta\tau}$$

$$\psi''(x) \approx \sum_{i=1}^N q(x_i) \delta(x - x_i) \approx \sum_{i=1}^N \delta(x - x_i)$$

anstelle das Gewicht der Teilchen zu verändern benutze Wachstumsprozess. D.h berechne $s = q + x$ $0 \leq x < 1$ gleichverteilte Zufallszahl

Anzahl der Teilchen bei $r'_i - 1 \rightarrow \text{floor}(s)$

OK, weil $\langle \text{floor}(s) \rangle = q = (i-1)\varepsilon + i(1-\varepsilon) = i - \varepsilon = q$

\Rightarrow hintereinander ausführen liefert den kompletten Prozess $e^{\mathcal{L}\tau}$

$\psi(0) \rightarrow \psi(x, \tau) \propto \psi_0(x)$ mit $E_T = E_0 = \text{Grundzustandsenergie}$

Wahl von $E_T \approx E_0$

$$\mathcal{H}\psi_0 = (-D\nabla^2 + V)\psi_0 = E_0\psi_0$$

$$E_0 = \left. \frac{\mathcal{H}\psi_0(x)}{\psi_0(x)} \right|_{\forall x}$$

Sei \bar{N} die angestrebte Anzahl von Teilchen

$$\bar{N} \stackrel{!}{=} N'' \propto e^{\Delta\tau \delta E_T} N'$$

$$\delta E_T = -\frac{1}{\Delta\tau} \log \frac{N}{\bar{N}}$$

$$\text{geeignete Wahl: } E_T = \frac{1}{N} \sum_{i=1}^N V(r_i) - \kappa \log \frac{N}{\bar{n}}$$